

**สำนักหอสมุดกลาง พระจอมเกล้าลาดกระบัง**

การออกแบบและสร้างโหลดเซลล์

**Design and Fabrication of Load cells**



โดย



นายสมชาย กุลเสวกวิบูลย์

นายสุรชัย อัครชัยสิทธิ์กุล

นายสมคิด เอกพานิช

อาจารย์ที่ปรึกษา

ดร. อุพันธ์ พิณโสภณ

เลขหมู่.....

เลขทะเบียน.....61847

วัน,เดือน,ปี..... 21 ก.ค. 2549

b.....1158.0616  
i.....

ปริญญานิพนธ์นี้เป็นส่วนหนึ่งของการศึกษาตามหลักสูตรปริญญาตรีวิศวกรรมศาสตรบัณฑิต

ภาควิชาวิศวกรรมเครื่องกล

คณะวิศวกรรมศาสตร์

สถาบันเทคโนโลยีพระจอมเกล้าเจ้าคุณทหารลาดกระบัง

ปีการศึกษา 2547

เอกสารนี้เป็นเอกสารที่สงวนไว้สำหรับการใช้งานเพื่อการศึกษาเท่านั้น ไม่อนุญาตให้นำไปใช้ประโยชน์ด้านการค้า  
ไม่ว่ากรณีใดๆ ทั้งสิ้น อีกทั้งห้ามมิให้ดัดแปลงเนื้อหา และต้องอ้างอิงถึงเจ้าของเอกสารทุกครั้งที่มีการนำไปใช้

ปริญญาโทปีการศึกษา 2547

ภาควิชา วิศวกรรมเครื่องกล

คณะวิศวกรรมศาสตร์ สถาบันเทคโนโลยีพระจอมเกล้าเจ้าคุณทหารลาดกระบัง

เรื่อง การออกแบบและสร้าง โหลดเซลล์

Design and Fabrication of Load cells

ผู้จัดทำ

1. นายสมชาย กุลเสวกวิบูลย์ รหัส 45015434
2. นายสุรชัย อัสวชัยสิทธิกุล รหัส 45015442
3. นายสมคิด เอกพานิช รหัส 45015481



เอกสารนี้เป็นเอกสารที่สงวนไว้สำหรับการใช้งานเพื่อการศึกษาเท่านั้น ไม่อนุญาตให้นำไปใช้ประโยชน์ด้านการค้า  
ไม่ว่ากรณีใดๆ ทั้งสิ้น อีกทั้งห้ามมิให้ดัดแปลงเนื้อหา และต้องอ้างอิงถึงเจ้าของเอกสารทุกครั้งที่มีการนำไปใช้

## การออกแบบและสร้างโหลดเซลล์

นายสมชาย	กุลเสวกวิบูลย์	45015434
นายสุรชัย	อัสวชัยสิทธิกุล	45015442
นายสมคิด	เอกพานิช	45015481
ดร.อุนนติ	พิณ โสภณ	อาจารย์ที่ปรึกษา

### บทคัดย่อ

โครงการนี้เป็นการศึกษาการออกแบบและสร้างโหลดเซลล์ โหลดเซลล์ถูกออกแบบให้รับภาระได้ 50 kg และ 200kg และเป็นโหลดเซลล์ชนิด web type โหลดเซลล์ถูกออกแบบโดยใช้โปรแกรมทางไฟไนต์เอลิเมนต์ ต้นทุนในการสร้างโหลดเซลล์จะมีราคาถูกในระดับพื้นบาท



เอกสารนี้เป็นเอกสารที่สงวนไว้สำหรับการใช้งานเพื่อการศึกษาเท่านั้น ไม่อนุญาตให้นำไปใช้ประโยชน์ด้านการค้าไม่ว่ากรณีใดๆ ทั้งสิ้น อีกทั้งห้ามมิให้ดัดแปลงเนื้อหา และต้องอ้างอิงถึงเจ้าของเอกสารทุกครั้งที่มีการนำไปใช้

## Design and Fabrication of Load cells

Somchai Kunsawekviboon

Surachai Assavachaisittikul

Somkid Akpanis

Dr. Unnut Pinsopon

### Abstract

This project present the design and fabrication of load cell . The load cell is of the web type , and is designed to accept the maximum load of 50 kg and 200 kg . It is designed with the use of finite element soft ware . The load cell would be low coasted about a few thousands bath.



เอกสารนี้เป็นเอกสารที่สงวนไว้สำหรับการใช้งานเพื่อการศึกษาเท่านั้น ไม่อนุญาตให้นำไปใช้ประโยชน์ด้านการค้า  
ไม่ว่ากรณีใดๆ ทั้งสิ้น อีกทั้งห้ามมิให้ดัดแปลงเนื้อหา และต้องอ้างอิงถึงเจ้าของเอกสารทุกครั้งที่มีการนำไปใช้

### กิตติกรรมประกาศ

ปริญญาานิพนธ์ฉบับนี้สำเร็จลงได้ก็เพราะได้รับความช่วยเหลือ และให้การสนับสนุนจากหลายๆ ฝ่ายด้วยกัน บุคคลแรกที่ต้องกล่าวถึงเพราะเป็นส่วนสำคัญที่ทำให้ปริญญาานิพนธ์นี้สำเร็จลงได้ก็คือ ดร. อุนนัต พิณโสภณ อาจารย์ที่ปรึกษาปริญญาานิพนธ์ที่ให้ความเอาใจใส่ แนะนำ ช่วยเหลือและให้คำปรึกษาที่ดีเสมอมาซึ่งต้องขอขอบพระคุณเป็นอย่างสูง

ขอขอบคุณ ดร. มนต์ศักดิ์ พิมสาร ที่ให้คำปรึกษาด้านการใช้โปรแกรม abaqus และขอขอบคุณคณาจารย์ทุกท่านที่ช่วยให้คำปรึกษาจนได้ผลงานที่มีคุณภาพ ขอขอบคุณ ลุงมณฑา เทียมเมือง ที่ให้ความช่วยเหลือทางด้านอุปกรณ์และการปฏิบัติงานในการทำปริญญาานิพนธ์ครั้งนี้



เอกสารนี้เป็นเอกสารที่สงวนไว้สำหรับการใช้งานเพื่อการศึกษาเท่านั้น ไม่อนุญาตให้นำไปใช้ประโยชน์ด้านการค้าไม่ว่ากรณีใดๆ ทั้งสิ้น อีกทั้งห้ามมิให้ดัดแปลงเนื้อหา และต้องอ้างอิงถึงเจ้าของเอกสารทุกครั้งที่มีการนำไปใช้

## สารบัญ

	หน้า
บทคัดย่อภาษาไทย	I
บทคัดย่อภาษาอังกฤษ	II
กิตติกรรมประกาศ	III
สารบัญ	IV
สารบัญรูป	V
สารบัญตาราง	VII
บทที่ 1 บทนำ	1
1.1 ความสำคัญและที่มา	1
1.2 วัตถุประสงค์ของงานวิจัย	1
1.3 ขอบเขตงานวิจัย	1
1.4 ประโยชน์ที่คาดว่าจะได้รับ	1
1.5 วิธีการดำเนินงาน	2
บทที่ 2 ทฤษฎีทรานส์คิวเซอร์	3
2.1.1 ทรานส์คิวเซอร์แรง	3
2.1.2 ชิ้นส่วนยึดหุ่นสำหรับวัดแรง	3
2.1.3 โหลดเซลล์แบบดึงค้	6
2.1.4 โหลดเซลล์แบบกดาน	8
2.1.5 โหลดเซลล์แบบวงแหวน	9
2.1.6 โหลดเซลล์ชนิดเชียร์ – เวน	11
2.2 การโค้งของคาน	12
2.2.1 การหาระยะโค้งของคานด้วยวิธี อินทิกรัล 2 ครั้ง	12
2.2.2 การหาระยะโค้งของคานด้วยวิธีพื้นที่-โมเมนต์	13
2.2.3 การโค้งของคานปลายยื่น	18
2.2.4 การโค้งในคานที่มีจุดรองรับอย่างง่าย	18
2.2.5 การหาระยะโค้งด้วยวิธีซูเปอร์โพสิชัน	19
2.3 สเตรนเกจชนิดความต้านทาน	22
2.3.1 สเตรนเกจแบบกักชิ้นรอยแผ่นโลหะบาง	22
2.3.2 การติดตั้งสเตรนเกจ	23
2.4 วงจรปรับแต่งสัญญาณวีตสโคปบริดจ์	25
บทที่ 3 การคำนวณและการออกแบบ	31
3.1 การออกแบบขั้นพื้นฐาน	31
3.2 การออกแบบพื้นฐานโดยใช้ทฤษฎีการออกแบบ	32

เอกสารนี้เป็นเอกสารที่สงวนไว้สำหรับการใช้งานเพื่อการศึกษาเท่านั้น ไม่อนุญาตให้นำไปใช้ประโยชน์ด้านการค้า  
ไม่ว่ากรณีใดๆ ทั้งสิ้น อีกทั้งห้ามมิให้ดัดแปลงเนื้อหา และต้องอ้างอิงถึงเจ้าของเอกสารทุกครั้งที่มีการนำไปใช้

	3.2.1 การคำนวณ	32
	3.3 การวิเคราะห์ Loadcell โดยใช้โปรแกรม Abaqus	33
บทที่ 4	แบบและวิธีการสร้าง	40
	4.1 หลักการทำงาน	40
	4.2 การใช้งาน	40
	4.3 การประยุกต์นำโหลดเซลล์ไปใช้งาน	41
บทที่ 5	สรุปและวิจารณ์ผลการทดลอง	44
	5.1 สรุป	44
	5.2 วิจารณ์ผลการทดลอง	45
ภาคผนวก ก.	วงจรวัดสโตนบริดจ์	46
ภาคผนวก ข.	วงจรแหล่งจ่าย	47
ภาคผนวก ค.	รายละเอียดโปรแกรมเครื่องกัด CNC	48
ภาคผนวก ง.	รายละเอียดโปรแกรมเครื่องขึง	52
บรรณานุกรม		54



## สารบัญรูป

	หน้า
รูปที่ 2.1 สปริง	3
รูปที่ 2.2 แท่งวัสดุ	4
รูปที่ 2.3 คานยื่น	4
รูปที่ 2.4 วงแหวน	5
รูปที่ 2.5 โหลดเซลล์แบบลิงค์	6
รูปที่ 2.6 คาน	8
รูปที่ 2.7 โหลดเซลล์แบบวงแหวน	10
รูปที่ 2.8 โหลดเซลล์แบบเชิร์-เวบ	11
รูปที่ 2.9 แสดงการโค้งของคานที่เกิดจากภาระภายนอกกระทำ	12
รูปที่ 2.10 แสดงภาระกระทำต่อคาน	14
รูปที่ 2.11 แสดงการเขียน $t_{AB}$ และ $t_{BA}$	15
รูปที่ 2.12 แสดงเครื่องหมายของ Deviation	16
รูปที่ 2.13 แสดงไดอะแกรมโมเมนต์	17
รูปที่ 2.14 แสดงการหาค่าระยะโค้งโดยใช้หลักการ Tangential Deviation	18
รูปที่ 2.15 แสดงการติดตั้งสเตรนเกจ	23
รูปที่ 2.16 แสดงการจัดสเตรนเกจ 4 แบบ ในวงจรวัดสโตนปริคจ์	25
รูปที่ 2.17 การจัดบริคจ์โดยใช้สเตรนเกจรับรู้อาการเครียด 2 ตัว	29
รูปที่ 3.1 แสดงโครงสร้างภายใน	31
รูปที่ 3.2 แสดงแขนรับน้ำหนักเป็น Cantilevered Beam	32
รูปที่ 3.3 แสดงโหลดเซลล์ที่ออกแบบ	33
รูปที่ 3.4 แสดงประกอบ PART	34
รูปที่ 3.5 แสดงการกำหนดบริเวณจุดยึด	35
รูปที่ 3.6 แสดงการตี Mesh	36
รูปที่ 3.7 แสดงความเค้นที่เกิดในคานโหลดเซลล์ขนาด 50 kg	37
รูปที่ 3.8 แสดงระยะการยุบตัวของคานโหลดเซลล์ขนาด 50 kg	37
รูปที่ 3.9 แสดงความเค้นที่เกิดตามแนวแกนโหลดเซลล์ขนาด 50 kg	38
รูปที่ 3.10 แสดงความเค้นที่เกิดในคานโหลดเซลล์ขนาด 200 kg	38
รูปที่ 3.11 แสดงระยะการยุบตัวของคานโหลดเซลล์ขนาด 200 kg	39
รูปที่ 3.12 แสดงความเค้นที่เกิดตามแนวแกนโหลดเซลล์ขนาด 200 kg	39
รูปที่ 4.1 ตัวโหลดเซลล์ที่ได้สร้างและออกแบบขึ้นใช้งานจริง	40

เอกสารนี้เป็นเอกสารที่สงวนไว้สำหรับการใช้งานเพื่อการศึกษาเท่านั้น ไม่อนุญาตให้นำไปใช้ประโยชน์ด้านการค้า  
ไม่ว่ากรณีใดๆ ทั้งสิ้น อีกทั้งห้ามมิให้ดัดแปลงเนื้อหา และต้องอ้างอิงถึงเจ้าของเอกสารทุกครั้งที่มีการนำไปใช้

รูปที่ 4.2 แสดงตำแหน่งการวางโหลดเซลล์	41
รูปที่ 4.3 แรงปฏิกิริยาที่เกิดที่โหลดเซลล์ 4 ตัว	42
รูปที่ 4.4 แสดงขั้นตอนการทำงานของโปรแกรม	42
รูปที่ 5.1 กราฟแสดงการเปรียบเทียบขณะเพิ่มและลดโหลดของโหลดเซลล์ 200 kg	44
รูปที่ 5.2 กราฟแสดงการเปรียบเทียบขณะเพิ่มและลดโหลดของโหลดเซลล์ 50 kg ทั้ง 4 ตัว	44



## สารบัญตาราง

	หน้า
ตารางที่ 3.1 แสดงค่าพื้นที่ของไดอะแกรมโมเมนต์ และค่า $\bar{x}$ ของภาระที่กระทำ กับคานาปลายยื่น	19
ตารางที่ 3.2 แสดงค่าพื้นที่ ประเภทของภาระ โมเมนต์สูงสุด ความลาดชันที่ปลาย สมการระยะโค้ง ระยะโค้งสูงสุด	21
ตารางที่ 5.1 แสดงคุณสมบัติของโพลีเซลล์แต่ละตัว	45



# บทที่ 1

## บทนำ

### 1.1 ความสำคัญและที่มา

ในปัจจุบันโหลดเซลล์ (Load cell) เป็นอุปกรณ์พื้นฐานที่ใช้ในการวัดขนาดของแรง และน้ำหนักที่มีการนำมาใช้กันในทุกอุตสาหกรรมต่างๆอย่างแพร่หลายและในสถาบันการศึกษา แต่ราคาของโหลดเซลล์ที่มีจำหน่ายในท้องตลาดขณะนี้มีราคาค่อนข้างสูง โหลดเซลล์แบบ web type จะมีราคาไม่ต่ำกว่าสองหมื่นบาทจึงได้เกิดแนวคิดในการประดิษฐ์โหลดเซลล์(Load cell) ขึ้นมาเพื่อใช้ในงานอุตสาหกรรม และสถาบันการศึกษาต่างๆ เพื่อหวังที่จะทำโหลดเซลล์(Load cell) ที่ผลิตออกมามีราคาไม่กี่ปันบาทที่เหมาะสมแก่การนำไปใช้งานและนำเอาทฤษฎีที่ศึกษาเกี่ยวกับการออกแบบต่างๆ มาทำการสร้างโหลดเซลล์ใช้งานจริงและเพื่อเป็นการศึกษาเกี่ยวกับการนำโปรแกรมไฟไนต์เอลิเมนต์(F.E.M)มาใช้ในการวิเคราะห์และออกแบบเพื่อที่จะมาหาขนาดการสร้างขึ้นส่วนต่างๆของโหลดเซลล์(Load cell) ให้มีขนาดที่เหมาะสม และเพื่อเป็นแนวทางในการนำโหลดเซลล์(Load cell) ที่คิดขึ้นมาไปพัฒนาให้มีคุณสมบัติใกล้เคียงกับโหลดเซลล์(Load cell) ที่มีชื่ออยู่ตามท้องตลาดและมีราคาที่ถูกกว่าในท้องตลาดและเหมาะสมกับการใช้งานต่างๆ และเพื่อที่จะได้มีราคาที่เหมาะสมกับการนำมาใช้งานบางงานที่ไม่ต้องการความละเอียดมากนักเพราะจะได้ลดต้นทุนในการสร้างเครื่องต่างๆที่ต้องนำโหลดเซลล์(Load cell) ไปประยุกต์ใช้ให้มีราคาต้นทุนที่ต่ำลง

### 1.2 วัตถุประสงค์ของงานวิจัย

1.2.1 เพื่อศึกษาวิธีการวิเคราะห์ ด้วยโปรแกรมไฟไนต์เอลิเมนต์ Abaqus มาใช้ในทางวิศวกรรม

1.2.2 เพื่อศึกษากรรมวิธีในการผลิตและออกแบบ โหลดเซลล์(Load cell)

### 1.3 ขอบเขตของงานวิจัย

1.3.1 เป็นการศึกษาและออกแบบ โหลดเซลล์ (Load cell) ที่สามารถรับภาระได้สูงสุดคือ 50 kg และ 200 kg

1.3.2 เป็นการศึกษาและออกแบบ โหลดเซลล์ชนิด web type ที่มีขนาดเส้นผ่านศูนย์กลาง 100 mm. และสูง 45 mm.

1.3.3 เป็นการศึกษาและออกแบบ โหลดเซลล์โดยไม่คำนึงถึงการชดเชยอุณหภูมิ

### 1.4 ประโยชน์ที่คาดว่าจะได้รับ

1.4.1 มีโหลดเซลล์ที่มีราคาต่ำกว่าท้องตลาดไว้ใช้งานในสถาบันอุดมศึกษา

1.4.2 ส่งเสริมงานวิจัยในเชิงวิศวกรรมในประเทศ

เอกสารนี้เป็นเอกสารที่สงวนไว้สำหรับการใช้งานเพื่อการศึกษาเท่านั้น ไม่อนุญาตให้นำไปใช้ประโยชน์ด้านการค้า ไม่ว่าจะกรณีใดๆ ทั้งสิ้น อีกทั้งห้ามมิให้ดัดแปลงเนื้อหา และต้องอ้างอิงถึงเจ้าของเอกสารทุกครั้งที่มีการนำไปใช้

## 1.5 วิธีการดำเนินงาน

- 1.5.1 หาข้อมูลของโพลคเซลล์ที่มีขายตามท้องตลาด
- 1.5.2 ร่างรูปแบบของตัวโพลคเซลล์
- 1.5.3 หาข้อมูลของอลูมิเนียมที่มีขายตามท้องตลาด
- 1.5.4 คำนวณในทางทฤษฎีเพื่อหาขนาดของกานและสัดส่วนแรงดัน
- 1.5.5 สร้างโมเดลในโปรแกรม ABAQUS เพื่อวิเคราะห์
- 1.5.6 หาข้อมูลของสเตรนเกจ
- 1.5.7 นำอลูมิเนียมที่ซื้อมาทำการขึ้นรูป
- 1.5.8 นำโพลคเซลล์มาติดสเตรนเกจและต่อวงจรวัดสโตนบริดจ์ภายในตัวโพลคเซลล์
- 1.5.9 นำโพลคเซลล์ไปทดลองเพื่อหาความสัมพันธ์ระหว่างภาระที่กระทำกับแรงดันเอาต์พุต
- 1.5.10 ปรับแต่งตัวโพลคเซลล์
- 1.5.11 สรุปผลการทดลองและทำรายงานขั้น



เอกสารนี้เป็นเอกสารที่สงวนไว้สำหรับการใช้งานเพื่อการศึกษาเท่านั้น ไม่อนุญาตให้นำไปใช้ประโยชน์ด้านการค้า  
ไม่ว่ากรณีใดๆ ทั้งสิ้น อีกทั้งห้ามมิให้ดัดแปลงเนื้อหา และต้องอ้างอิงถึงเจ้าของเอกสารทุกครั้งที่มีการนำไปใช้

## บทที่ 2

## ทฤษฎีที่ใช้ในการออกแบบโหลดเซลล์

## 2.1. ทฤษฎีทรานส์ดิวเซอร์

ทรานส์ดิวเซอร์ที่ใช้วัดแรง ทอร์ก หรือความดันโดยทั่วไป ประกอบด้วย ส่วนยืดหยุ่น หรือ การเปลี่ยนแปลงเป็นระยะโค้งหรือความเครียด และตัวรับรู้ โดยปกติจะใช้สเตรนเกจ อย่างไรก็ตาม บางครั้งอาจใช้ LVDT หรือ โปเทนซิโอมิเตอร์สำหรับการวัดแบบสถิตหรือกึ่งสถิต

## 2.1.1 ทรานส์ดิวเซอร์แรง

ทรานส์ดิวเซอร์แรง (Force Transducers) ใช้สำหรับแปลงผันแรงทางกายภาพให้เป็น สัญญาณไฟฟ้า ในทางกลศาสตร์ สามารถจำแนกแรงออกเป็น 2 ประเภทใหญ่ ๆ คือ

1. แรงจลน์ (Kinematic force) เป็นแรงที่ทำให้วัตถุเปลี่ยนแปลงความเร็วในการเคลื่อนที่ เช่น แรงที่กระทำบนมือหุ่นยนต์เนื่องจากความเร่งของมวลของวัตถุในระหว่างการบังคับให้เคลื่อนที่
2. แรงสถิต (Static force) เป็นแรงที่กระทำบนวัตถุ โดยไม่เกี่ยวข้องกับเคลื่อนที่ เช่น แรงที่กระทำโดยมือของหุ่นยนต์บนพื้นผิวของวัตถุในระหว่างการจับยึดวัตถุ

การวัดแรงทั่วไป ทรานส์ดิวเซอร์แรงจะแปลงผันพลังงานกลเป็นพลังงานไฟฟ้า โดยการวัด การเปลี่ยนแปลงรูปร่างทางกายภาพของทรานส์ดิวเซอร์ซึ่งแรงเป็นตัวการทำให้เกิดขึ้น

## 2.1.2 ชิ้นส่วนยืดหยุ่นสำหรับวัดแรง

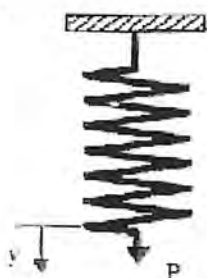
ชิ้นส่วนยืดหยุ่นเป็นอุปกรณ์ที่สำคัญสำหรับการวัดทั้งแรงจลน์และแรงสถิต เมื่อมีแรงกระทำต่อ ชิ้นส่วนยืดหยุ่นอาจทำอยู่ในรูปของทรงกระบอก วงแหวน แท่งวัสดุ โลอะแฟรม ฯลฯ สำหรับการ แสดงขนาดแรงที่นิยมใช้โดยผ่านการวัดการกระจัด เช่น

- สปริง ในกรณีนี้แรงจะหาได้จาก

$$P = ky \quad \dots\dots\dots (2.1)$$

เมื่อ  $k$  เป็นค่าคงตัวของสปริง

$Y$  เป็นระยะกระจัดจากจุดสมดุล



รูปที่ 2.1 สปริง

เอกสารนี้เป็นเอกสารที่สงวนไว้สำหรับการใช้งานเพื่อการศึกษาเท่านั้น ไม่อนุญาตให้นำไปใช้ประโยชน์ด้านการค้า ไม่ว่ากรณีใดๆ ทั้งสิ้น อีกทั้งห้ามมิให้ดัดแปลงเนื้อหา และต้องอ้างอิงถึงเจ้าของเอกสารทุกครั้งที่มีการนำไปใช้

- แท่งวัสดุ จากรูปที่ 2.2 แรงที่วัดได้จะเป็นไปตามสมการ

$$P = \frac{AEy}{L} \dots\dots\dots(2.2)$$

เมื่อ A เป็นพื้นที่หน้าตัด

E เป็นค่าโมดูลัสความยืดหยุ่นของวัสดุ

L เป็นความยาว

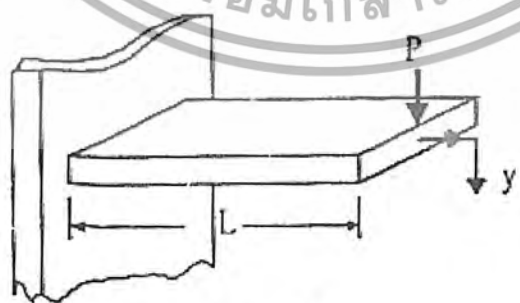


รูปที่ 2.2 แท่งวัสดุ

- กายยื่น Cantilever beam การเบนไปของปลายคานสัมพันธ์กับแรง P ที่กระทำจากรูป 2. 3

$$P = \frac{3EIy}{L^3} \dots\dots\dots(2.3)$$

เมื่อ I คือ โมเมนต์ความเฉื่อยของคานรอบแกนที่ผ่านศูนย์กลาง ในทิศทางของการเบน



รูปที่ 2. 3 คานยื่น

เอกสารนี้เป็นเอกสารที่สงวนไว้สำหรับการใช้งานเพื่อการศึกษาเท่านั้น ไม่อนุญาตให้นำไปใช้ประโยชน์ด้านการค้า  
ไม่ว่ากรณีใดๆ ทั้งสิ้น อีกทั้งห้ามมิให้ดัดแปลงเนื้อหา และต้องอ้างอิงถึงเจ้าของเอกสารทุกครั้งที่มีการนำไปใช้

-วงแหวน จากรูป 2.4 เมื่อมีแรง H และ V ภาระทำต่อวงแหวนความเครียดที่เกิดขึ้น

เมื่อ  $\theta = 90$

หาได้จากสมการ

$$\epsilon_{90} = 1.09 \frac{Vr}{Ewt^2} \dots\dots\dots(2.4)$$

เมื่อ  $\theta = 39.6$  ความเครียด

หาได้จากสมการ

$$\epsilon_{39.6} = 2.31 \frac{Hr}{Ewt^2} \dots\dots\dots(2.5)$$

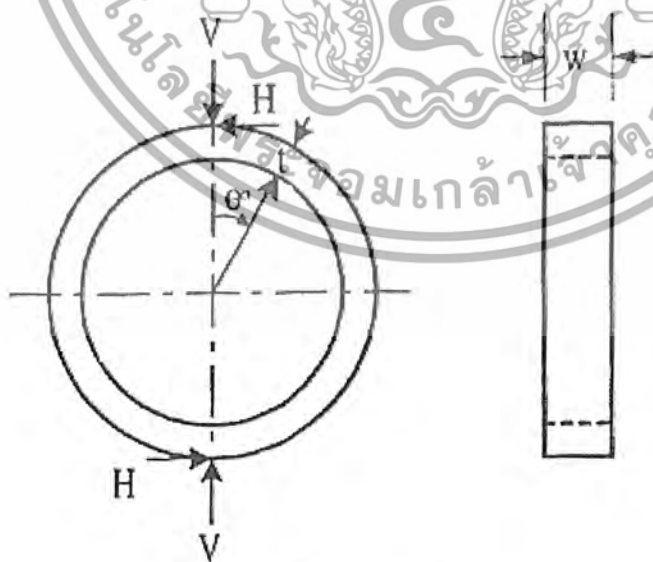
เมื่อ r คือรัศมีเฉลี่ยของวงแหวน

จากสมการ 4 และ 5 จะเห็นว่าที่  $\theta = 90$  ความเครียดเป็นผลเนื่องจากแรง V เพียงอย่างเดียวและที่  $\theta = 39.6$  ความเครียดเป็นผลเนื่องจากแรง H เพียงอย่างเดียว ดังนั้นองค์ประกอบทั้งสองสามารถแยกกัน  
วัดได้

สมการสำหรับการโก่งตัวในทิศทางของ V และ H คือ

$$\delta_v = 9.42 \frac{Vr^3}{Ewt^3} \dots\dots\dots(2.6)$$

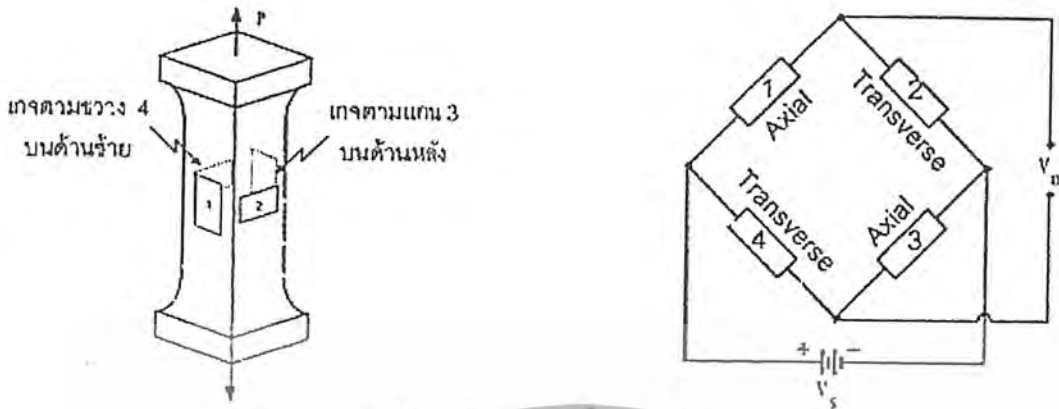
$$\delta_H = 1.79 \frac{Hr^3}{Ewt^3} \dots\dots\dots(2.7)$$



รูปที่ 2.4 วงแหวน

เอกสารนี้เป็นเอกสารที่สงวนไว้สำหรับการใช้งานเพื่อการศึกษาเท่านั้น ไม่อนุญาตให้นำไปใช้ประโยชน์ด้านการค้า  
ไม่ว่ากรณีใดๆ ทั้งสิ้น อีกทั้งห้ามมิให้ดัดแปลงเนื้อหา และต้องอ้างอิงถึงเจ้าของเอกสารทุกครั้งที่มีการนำไปใช้

2.1.3 โหลดเซลล์แบบลิงค์



รูปที่ 2.5 โหลดเซลล์แบบลิงค์

โหลดเซลล์แบบลิงค์ (Link-type load cell) ดังรูปที่ 2.5 อย่างง่ายประกอบด้วยลิงค์ (Link) และสเตรนเกจ (Strain gage) 4 อันดังแสดงในรูปภาระ (Load) P สามารถเป็นไปได้ทั้งภาระแรงดึง (Tensile load) หรือภาระแรงอัด (Compressive load) สเตรนเกจ 2 อันยึดติดกับลิงค์ในแนวขนานกับแกนและอีก 2 อันในแนวขวางกับแกน สเตรนเกจทั้ง 4 จะคือเป็นวงจรวีตสโตนบริดจ์โดยเกจที่อยู่ในแนวแกนต่ออยู่ในแขน 1 และ 3 ส่วนเกจที่อยู่ในแนวขวางต่ออยู่กับแขน 2 และ 4

เมื่อภาระ P กระทำต่อลิงค์ ความเครียดตามแนวแกนและตามแนวขวางจะเกิดขึ้นในลิงค์และสัมพันธ์กับภาระตามสมการ

$$\epsilon_a = \frac{P}{AE}$$

$$\epsilon_t = \frac{-VP}{AE}$$

- เมื่อ A เป็นพื้นที่หน้าตัดของลิงค์
- E เป็นโมดูลัสความยืดหยุ่นของวัสดุที่ใช้ทำลิงค์
- V เป็นอัตราส่วนปัวซองของวัสดุที่ใช้ทำลิงค์

การตอบสนองของเกจต่อภาระ P ที่กระทำเป็นไปตามสมการ

$$\frac{\Delta R_1}{R_1} = \frac{\Delta R_3}{R_3} = \delta_i \epsilon_a = \frac{S_g P}{AE}$$

$$\frac{\Delta R_2}{R_2} = \frac{\Delta R_4}{R_4} = \delta_i \epsilon_t = -\frac{V S_g P}{AE}$$

.....b

ถ้าสมมติว่าสเตรนเกจทั้ง 4 ตัวบนลิงค์เหมือนกันทุกประการ แรงดันเอาต์พุต  $V_o$  จากวีตสโตนบริดจ์

ได้จาก การแทนค่าสมการ b ลงในสมการ

เอกสารนี้เป็นเอกสารที่สงวนไว้สำหรับการใช้งานเพื่อการศึกษาเท่านั้น ไม่อนุญาตให้นำไปใช้ประโยชน์ด้านการค้า

ไม่ว่ากรณีใดๆ ทั้งสิ้น อีกทั้งห้ามมิให้ดัดแปลงเนื้อหา และต้องอ้างอิงถึงเจ้าของเอกสารทุกครั้งที่มีการนำไปใช้

$$V_o = \frac{r}{(1+r)^2} \left[ \frac{\Delta R_1}{R_1} - \frac{\Delta R_2}{R_2} + \frac{\Delta R_3}{R_3} - \frac{\Delta R_4}{R_4} \right] V_s$$

จะได้  $V_o = \frac{S_g P(1+V)}{2AE} V_s$  .....(2.8)

หรือ  $P = \frac{2AE}{S_g(1+V)} V_o = C V_o$  ..... (2.9)

สมการ 9 แสดงว่า ภาวะ P เป็นสัดส่วนเชิงเส้นกับแรงดันเอาต์พุต  $V_o$  และค่าคงตัวสัดส่วน หรือค่าคงตัวปรับเทียบคือ

$$C = \frac{2AE}{S_g(1+V) V_s} \text{ .....(2.10)}$$

เมื่อ C คือค่าคงตัวปรับเทียบ

ความไวของวัสดุโดนบริดจ์รวมกันคือ

$$S = \frac{V_o}{P} = \frac{1}{C} = \frac{S_g(1+V) V_s}{2AE} \text{ ..... (2.11)}$$

จากสมการ 11 แสดงว่าความไวของโหนดเซลล์ขึ้นอยู่กับพื้นที่หน้าตัดของลิงค์ (A)

โมดูลัสความยืดหยุ่นของวัสดุที่ใช้ทำลิงค์ ( $E$ ,  $V$ ) ตัวประกอบเกอ ( $S_g$ ) และแรงดันที่จ่ายให้กับบริดจ์ ( $V_s$ ) เรนจ์ (Range) ของแรงที่ให้กับโหนดเซลล์แบบลิงค์ หาได้จากพื้นที่หน้าตัดของลิงค์และความถี่ ( $S_f$ ) ของวัสดุที่ใช้ทำลิงค์ โดย

$$P_{max} = S_f A \text{ ..... (2.12)}$$

อัตราส่วนแรงดันที่ภาวะสูงสุด  $\left[ \frac{V_o}{V_s} \right]_{max}$  สำหรับโหนดเซลล์แบบลิงค์หาได้จากสมการ

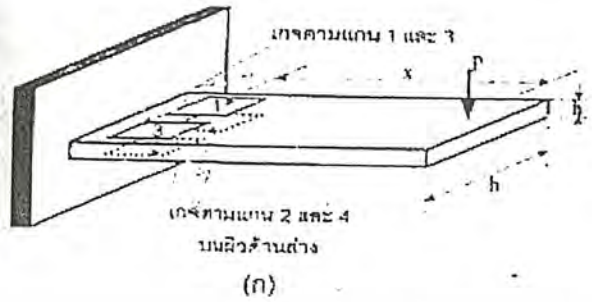
$$\left[ \frac{V_o}{V_s} \right]_{max} = \frac{S_g S_f (1+V)}{2E} \text{ ..... (2.13)}$$

โหนดเซลล์แบบลิงค์เกือบทั้งหมดกำหนดค่าเต็มสเกลของภาวะ ( $P = P_{max}$ ) ที่  $(V_o/V_s)^* = 3$  ด้วยค่าเต็มสเกลเฉพาะของอัตราส่วนแรงดัน  $(V_o/V_s)^*$  นี้ภาวะ P บนโหนดเซลล์จะหาได้จาก

$$P = \frac{V_o/V_s}{(V_o/V_s)^*} P_{max} \text{ .....(2.14)}$$

เอกสารนี้เป็นเอกสารที่สงวนไว้สำหรับการใช้งานเพื่อการศึกษาเท่านั้น ไม่อนุญาตให้นำไปใช้ประโยชน์ด้านการค้าไม่ว่ากรณีใดๆ ทั้งสิ้น อีกทั้งห้ามมิให้ดัดแปลงเนื้อหา และต้องอ้างอิงถึงเจ้าของเอกสารทุกครั้งที่มีการนำไปใช้

2.1.4 โหลดเซลล์แบบคาน



รูป 2.6

โหลดเซลล์แบบ (Beam – type loadcell) ใช้วัดภาระในกรณีที่ใช้โหลดเซลล์แบบดิงค์ไม่ได้จากรูป 2.6 ใช้คานยื่น (Cantiliver beam) ทำหน้าที่เป็นชิ้นส่วนยึดหยุ่นซึ่งมีสเตรนเกจ 2 อัน ติดอยู่บนผิวด้านบนและอีก 2 อันอยู่ด้านล่าง (ทั้งหมดติดอยู่ในแนวขนานของคาน) ทำหน้าที่เป็นตัวรับรู้ โดยสเตรนเกจต่อกันเป็นวงจรวีตสโตนบริดจ์

ภาระ P ทำให้เกิดโมเมนต์  $M = PX$  ที่ตำแหน่ง X ทำให้ได้ผลลัพธ์

$$\epsilon_1 = -\epsilon_2 = \epsilon_3 = -\epsilon_4 = \frac{6M}{Ebh^2} \dots a$$

เมื่อ b คือความกว้างของหน้าตัดคาน  
H คือความหนาของหน้าตัดคาน

การตอบสนองของสเตรนเกจหาได้จากสมการ  $\Delta R = \delta \epsilon$  และสมการ a

$$\frac{\Delta R_1}{R_1} = -\frac{\Delta R_2}{R_2} = \frac{\Delta R_3}{R_3} = -\frac{\Delta R_4}{R_4} = \frac{6S_g M}{Ebh^2} \dots b$$

แรงดันเอาต์พุต  $V_o$  จากวีตสโตนบริดจ์ ซึ่งเป็นผลจากภาระแรงกระทำหาได้โดยแทนสมการ b

$$V_o = \frac{r}{(1+r)^2} \left( \frac{\Delta R_1}{R_1} - \frac{\Delta R_2}{R_2} + \frac{\Delta R_3}{R_3} - \frac{\Delta R_4}{R_4} \right) V_s$$

และสมมติว่าสเตรนเกจทั้ง 4 เหมือนกันทุกประการ

$$V_o = \left( \frac{6S_g M}{Ebh^2} \right) V_s \dots (2.15)$$

หรือ

$$P = \left( \frac{Ebh^2}{6S_g X V_s} \right) V_o = C V_o \dots (2.16)$$

เอกสารนี้เป็นเอกสารที่สงวนไว้สำหรับการใช้งานเพื่อการศึกษาเท่านั้น ไม่อนุญาตให้นำไปใช้ประโยชน์ด้านการค้าไม่ว่ากรณีใดๆ ทั้งสิ้น อีกทั้งห้ามมิให้ดัดแปลงเนื้อหา และต้องอ้างอิงถึงเจ้าของเอกสารทุกครั้งที่มีการนำไปใช้

จากสมการแสดงว่าภาระ P เป็นสัดส่วนกับแรงดันเอาต์พุต  $V_o$  และค่าคงตัวสัดส่วนหรือค่าคงตัวเปรียบเทียบ C คือ

$$C = \left( \frac{Ebh^2}{6S_g \times V_s} \right) \dots\dots\dots (2.17)$$

ความไวของโพลีเซลล์และวัสดุโตนบริดจ์รวมกันกำหนดโดยสมการ

$$S = \frac{V_o}{P} = \frac{1}{C} = \frac{6S_g \times V_s}{Ebh^2} \dots\dots\dots (2.18)$$

จากสมการ 18 แสดงว่าความไวของโพลีเซลล์แบบคาน ขึ้นอยู่กับรูปร่างหน้าตัดของคาน (b , h ) โมดูลัสความยืดหยุ่นของวัสดุที่ใช้ทำคาน ( E ) ตำแหน่งของภาระเทียบกับเกจ ( X ) ตัวประกอบเกจ ( $S_g$ ) และแรงดันที่ป้อนให้กับวงจรถับรีดจ์

เรนจ์ของภาระที่ใช้กับโพลีเซลล์แบบคานขึ้นอยู่กับรูปร่างหน้าตัดของคาน ตำแหน่งที่ภาระกระทำ และความถี่ของวัสดุที่ใช้ทำคาน ถ้าสมมติว่าเกจติดอยู่ใกล้กับฐานรองรับคานจะได้

$$M_{gage} = M_{Max}$$

และ

$$P_{max} = \frac{S_f bh^2}{6X} \dots\dots\dots (2.19)$$

อัตราส่วนแรงดันที่ภาระสูงสุด ( $V_o / V_{s Max}$ ) หาได้จากการแทนสมการ 2.19 ลงใน 15.71

$$\frac{V_o}{V_{s max}} = \frac{S_g S_f}{E} \dots\dots\dots (2.20)$$

โพลีเซลล์แบบคานที่มีขายในท้องตลาดมีอัตราส่วนแรงดัน ( $V_o / V_s$ )\* ที่ภาระเต็มระหว่าง 4 และ 5mv/v

**2.1.5 โพลีเซลล์แบบวงแหวน**

ส่วนประกอบของโพลีเซลล์แบบวงแหวน ( Ring-type loadcell ) ดังรูป 2.7 มีวงแหวนพรูฟริง (Proving ring) เป็นส่วนยึดหยุ่นและมีตัวรับรู้ซึ่งสามารถใช้ได้ทั้ง สเตรนเกจ และ LVTD ดังแสดงดังรูป

ถ้าใช้ LVTD วัดการกระจัดอันเนื่องมาจากการอัดหรือดึงในแนวเส้นผ่านศูนย์กลางของวงแหวน และความสัมพันธ์ระหว่างการกระจัด  $\delta$  กับภาระ P จะเป็นไปตามสมการ ( โดยประมาณ )

$$\delta = \frac{9.42 PR^3}{Ewt^3} \dots\dots\dots(2.21)$$

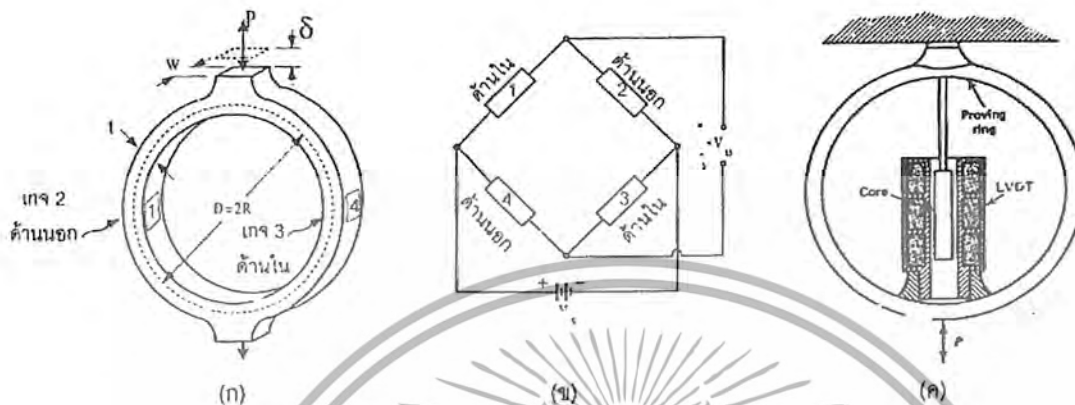
- เมื่อ R เป็นรัศมีของวงแหวน
- E เป็น โมดูลัสความยืดหยุ่นของวัสดุ
- W เป็นความกว้างของวงแหวน
- T เป็นความหนาของวงแหวน

เอกสารนี้เป็นเอกสารที่สงวนไว้สำหรับการใช้งานเพื่อการศึกษาเท่านั้น ไม่อนุญาตให้นำไปใช้ประโยชน์ด้านการค้า ไม่ว่าจะกรณีใดๆ ทั้งสิ้น อีกทั้งห้ามมิให้ดัดแปลงเนื้อหา และต้องอ้างอิงถึงเจ้าของเอกสารทุกครั้งที่มีการนำไปใช้

แรงดันเอาต์พุต  $V_o$  ของLVTD สามารถแสดงโดยสมการ

$$V_o = s \delta v_s \dots\dots\dots (2.22)$$

เมื่อ  $s$  เป็นค่าความไวของเกจ



รูป 2.7 โหลดเซลล์แบบวงแหวน

ความสัมพันธ์ระหว่างแรงดันออกกับภาระได้จากกรณีสมการ 2.21 ถึงในสมการ 2.22

$$V_o = \frac{9.42 SPR^3}{Ewt^3} V_s \dots\dots\dots (2.23)$$

หรือ

$$P = \frac{0.11 Ewt^3}{SR^3 V_s} V_o = C V_o \dots\dots\dots (2.24)$$

$$C = \frac{0.11 (Ewt^3)}{SR^3 V_s} V_o \dots\dots\dots (2.25)$$

ความไวของวงแหวน LVTD รวมกัน

$$S_f = \frac{V_o}{P} = \frac{1}{C} = \frac{9.42 SPR^3 V_s}{Ewt^3} \dots\dots\dots (2.26)$$

เรนจ์ของโหลดเซลล์แบบวงแหวนถูกควบคุมโดยความแข็งแรงของวัสดุ ถ้าโหลดเซลล์ใช้วัสดุที่กระทำเป็นวัฏจักร (Cyclic load) ความล้า (Fatigue)  $S_f$  เป็นสิ่งสำคัญที่ต้องพิจารณา

ความเค้นสูงสุดในชิ้นส่วนวงแหวนอยู่ที่ผิวด้านในของวงแหวนตรงที่เส้นผ่านศูนย์กลางตั้งฉากกับแนวภาระ ค่าประมาณของความเค้นที่ตำแหน่งนี้ คือ

$$\sigma = 1.09 \frac{PR}{Wt^2} \dots\dots\dots (2.27)$$

จากสมการ 27 สำหรับการวัดภาระที่กระทำเป็นจังหวะ

$$P = 0.92 \frac{Wt^2 S_f}{R} \dots\dots\dots (2.28)$$

เอกสารนี้เป็นเอกสารที่สงวนไว้สำหรับการใช้งานเพื่อการศึกษาเท่านั้น ไม่อนุญาตให้นำไปใช้ประโยชน์ด้านการค้าไม่ว่ากรณีใดๆ ทั้งสิ้น อีกทั้งห้ามมิให้ดัดแปลงเนื้อหา และต้องอ้างอิงถึงเจ้าของเอกสารทุกครั้งที่มีการนำไปใช้

อัตราส่วนแรงดันที่ภาระสูงสุด  $(V_o / V_s)_{Max}$

$$\frac{V_o}{V_s}_{max} = \frac{8.67R^2 S_f}{Et} \dots\dots\dots(2.29)$$

ด้วยค่าเต็มสเกลเฉพาะของอัตราส่วนแรงดัน  $(V_o / V_s)^*$  นี้ภาระ P บนโหลดเซลล์จะหาได้จาก

$$P = \frac{V_o / V_s}{(V_o / V_s)^*} P_{max} \dots\dots\dots (2.30)$$

2.1.6 โหลดเซลล์ชนิดเชียร์ - เวบ

โหลดเซลล์ชนิดเชียร์ - เวบ (Shear - web - type load cell) เรียกอีกอย่างหนึ่งว่า โหลดเซลล์แบบ แพลต (Flat load cell) ดังรูป 2.8 มีประโยชน์สำหรับกรใช้งาน เมื่อที่วางในแนวการระมีจำกัด

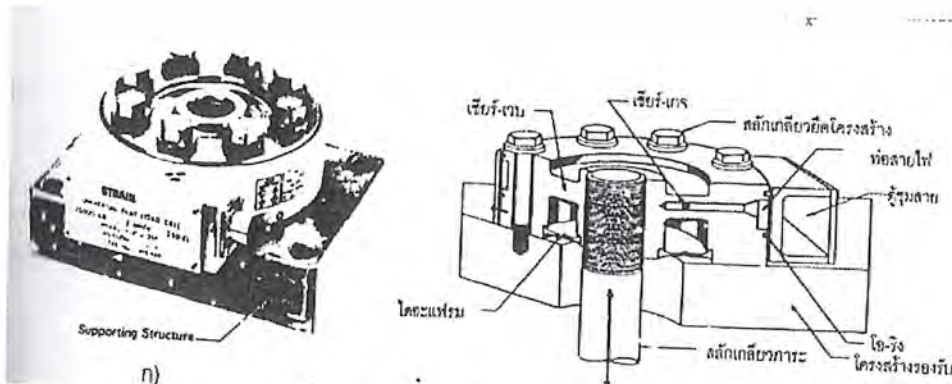
โหลดเซลล์ชนิดเชียร์เวบประกอบด้วยคัมรับภาระข้างใน (Inner loadcell hub) และหน้าจากรองรับข้างนอก (Outer supporting flange) ซึ่งต่อกันด้วยเชียร์-เวบ ดังรูป สเตรนเกจ ชนิดรับแรงเหนือตัดตั้งอยู่ในรูเล็ก ๆ ที่ถูกเจาะเข้าไปในเชียร์-เวบ

โหลดเซลล์แบบแพลตมีขนาดกระทัดรัด สามารถประยุกต์ใช้ได้กับงานพลวัต โดยเฉพาะเมื่อต้องการวัดภาระในขณะที่การสั่นมีความถี่สูง ขนาดของแรงที่วัดโดยใช้โหลดเซลล์แบบแพลตหาได้จาก การวัดความถี่ธรรมชาติของโหลดเซลล์

$$f_n = 3.13 \sqrt{\frac{k}{W_x + W_c}} \dots\dots\dots (2.31)$$

- เมื่อ  $f_n$  คือ ความถี่ธรรมชาติ ของพหุนามสี่ตัวเซอร์ (Hz)
- $k$  คือ ค่าคงตัวของสปริงหรือ Stiffness ของโหลดเซลล์ (lb/in)
- $W_c$  คือ น้ำหนักประสิทธิผลของส่วนแอคทีฟของโหลดเซลล์ (lb)
- $W_x$  คือ น้ำหนักภายนอกที่ติดกับคัม (lb)

ความถี่ธรรมชาติที่แสดงในตาราง จำนวนภายใต้สมมติฐานว่าไม่มีน้ำหนักภายนอก ( $W_x$ ) ติดกับโหลดเซลล์



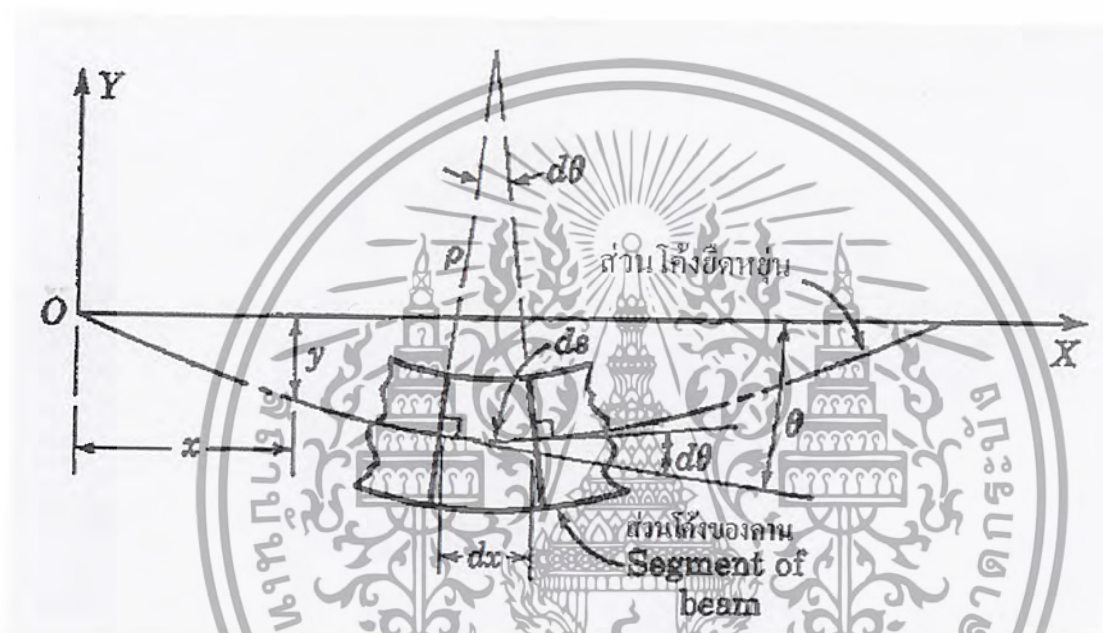
รูป 2. 8 โหลดเซลล์แบบเชียร์- เวบ

เอกสารนี้เป็นเอกสารที่สงวนไว้สำหรับการใช้งานเพื่อการศึกษาเท่านั้น ไม่อนุญาตให้นำไปใช้ประโยชน์ด้านการค้า ไม่ว่าจะกรณีใดๆ ทั้งสิ้น อีกทั้งห้ามมิให้ดัดแปลงเนื้อหา และต้องอ้างอิงถึงเจ้าของเอกสารทุกครั้งที่มีการนำไปใช้

## 2.2 การโก่งของคาน (Deflection of Beams)

ในหัวข้อนี้เราจะพิจารณาถึงคานที่ถูกภาระภายนอกกระทำ การออกแบบคานจะพิจารณาถึงความแข็งแรงของคานด้วย ตัวอย่างในการออกแบบเครื่องมืองานโลหะ สำหรับงานที่ต้องการความแม่นยำ เช่น เพลาคีร์กอลิ่ง เครื่องกัด หรือเครื่องเจียรไน ต้องรักษาไม่ให้เกิดการเปลี่ยนรูป การเปลี่ยนรูปที่ต้องคำนึงอย่างหนึ่งก็คือ การโก่งของคาน

### 2.2.1 การหาระยะโก่งของคานด้วยวิธี อินทิกรัล 2 ครั้ง (Double Integration Method)



รูปที่ 2.9 แสดงการโก่งของคานที่เกิดจากภาระภายนอกกระทำ

จากรูปที่ 1 แสดงการโก่งของคาน โดยเลือกปลายคานทางด้านซ้าย เป็นจุดกำเนิดของแกน X ตลอดความยาวและแกน ทิศทางขึ้นเป็นบวก เป็นระยะการโก่งของคาน การโก่งจะเกิดขึ้นดังรูป 1

$$\text{ค่าของ } \tan \theta = \frac{dy}{dx}$$

$$\text{เมื่อ } \theta \text{ เล็กมาก } \tan \theta = \theta$$

$$\therefore \theta = \frac{dy}{dx}$$

Differential 2 ข้าง

เอกสารนี้เป็นเอกสารที่สงวนไว้สำหรับการใช้งานเพื่อการศึกษาเท่านั้น ไม่อนุญาตให้นำไปใช้ประโยชน์ด้านการค้าไม่ว่ากรณีใดๆ ทั้งสิ้น อีกทั้งห้ามมิให้ดัดแปลงเนื้อหา และต้องอ้างอิงถึงเจ้าของเอกสารทุกครั้งที่มีการนำไปใช้

$$\text{จะได้ } \frac{d\theta}{dx} = \frac{d^2y}{dx^2}$$

ถ้าเราพิจารณาการแปรเปลี่ยนของ  $\theta$  ที่ตำแหน่งความยาว  $ds$  ต่างๆกัน ซึ่งสาเหตุเกิดจากการตัดสินในคาน เราจะได้  $ds = \rho d\theta$

ค่า  $\rho$  เป็นรัศมีของส่วนโค้ง

$$\therefore \frac{1}{\rho} = \frac{d\theta}{ds} \approx \frac{d\theta}{dx}$$

$$\text{หรือ } \frac{1}{\rho} = \frac{d^2y}{dx^2}$$

จากสูตรของการคดงอ (Flexure Formula) จะได้  $\frac{1}{\rho} = \frac{M}{EI}$

$$\therefore \text{แทนค่า } \frac{d^2y}{dx^2} = \frac{M}{EI}$$

$$EI \frac{d^2y}{dx^2} = M$$

สมการนี้เป็นสมการความแตกต่างของส่วนโค้งซึ่งคดงอของคาน ค่า  $EI$  เราเรียกว่า Flexural Rigidity คาน โดยปกติแล้วค่า  $EI$  จะคงที่ตลอดความยาวของคาน แต่ถ้าเปลี่ยนชนิดของคานหรือเปลี่ยนหน้าตัดในเพลาดียวกัน ค่า  $EI$  จะไม่คงที่

ถ้าเรา take integrate จะได้

$$EI \frac{dy}{dx} = \int M dx + C_1 \quad (2.32)$$

take integrate อีกครั้งหนึ่งเราจะได้

$$EI \int dy = \iint M dx \cdot dx + C_1 x + C_2 \quad (2.33)$$

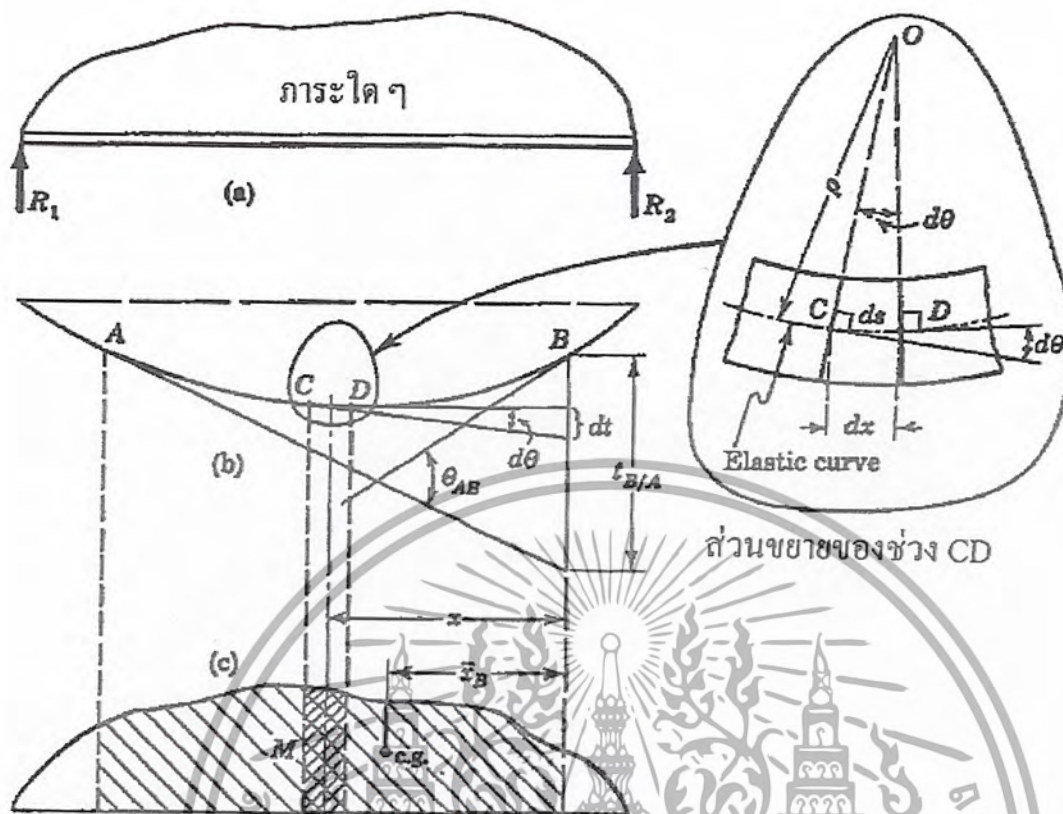
$$EI y = \iiint M dx \cdot dx + C_1 x + C_2 \quad (2.34)$$

สมการ  $EI y$  นี้เป็นสมการการหาระยะโค้งของคาน โดยการอินทิกรัลไปจากสมการโมเมนต์ของคาน 2 ครั้ง ณ ตำแหน่งนั้นๆ บนหน้าตัดคาน

## 2.2.2 การหาระยะโค้งของคานด้วยวิธีพื้นที่-โมเมนต์ (Theorems of Area-Moment Method)

การหาค่าระยะการโค้งของคานด้วยวิธีโมเมนต์-พื้นที่ เราจะพิจารณาพื้นที่ไดอะแกรมโมเมนต์บนคานดังรูปที่ 2.10

เอกสารนี้เป็นเอกสารที่สงวนไว้สำหรับการใช้งานเพื่อการศึกษาเท่านั้น ไม่อนุญาตให้นำไปใช้ประโยชน์ด้านการค้าไม่ว่ากรณีใดๆ ทั้งสิ้น อีกทั้งห้ามมิให้ดัดแปลงเนื้อหา และต้องอ้างอิงถึงเจ้าของเอกสารทุกครั้งที่มีการนำไปใช้



รูปที่ 2.10 แสดงการกระทำต่อคาน

พิจารณาที่ตำแหน่ง C และ D บนคานของรูปที่ 2 (b)

ค่าของ  $\frac{1}{\rho} = \frac{M}{EI}$  แต่  $ds = \rho d\theta$   $\therefore \frac{1}{\rho} = \frac{d\theta}{ds}$

$$\therefore \frac{1}{\rho} = \frac{M}{EI} = \frac{d\theta}{ds}$$

$\therefore$  หรือ  $\frac{M}{EI} \cdot ds$

ระยะ ds มีค่าเท่ากับ การ Projection ของระยะ dx

$$\therefore d\theta = \frac{M}{EI} \cdot dx$$

อินทิกรัลทั้งสองข้างจะได้  $\int_{\theta_A}^{\theta_B} d\theta = \int_{x_A}^{x_B} \frac{M}{EI} dx$

เอกสารนี้เป็นเอกสารที่สงวนไว้สำหรับการใช้งานเพื่อการศึกษาเท่านั้น ไม่อนุญาตให้นำไปใช้ประโยชน์ด้านการค้า  
ไม่ว่ากรณีใดๆ ทั้งสิ้น อีกทั้งห้ามมิให้ดัดแปลงเนื้อหา และต้องอ้างอิงถึงเจ้าของเอกสารทุกครั้งที่มีการนำไปใช้

$$\theta_{AB} = \int_{\theta_A}^{\theta_B} d\theta$$

$$\theta_{AB} = \frac{1}{EI} \int_{x_A}^{x_B} M dx$$

จากรูปที่ 2 (b) ;  $dt = xd\theta$

$$\text{ดังนั้น } t_{B/A} = \int dt = \int xd\theta$$

$$\therefore \text{จาก } d\theta = \frac{M}{EI} \cdot dx$$

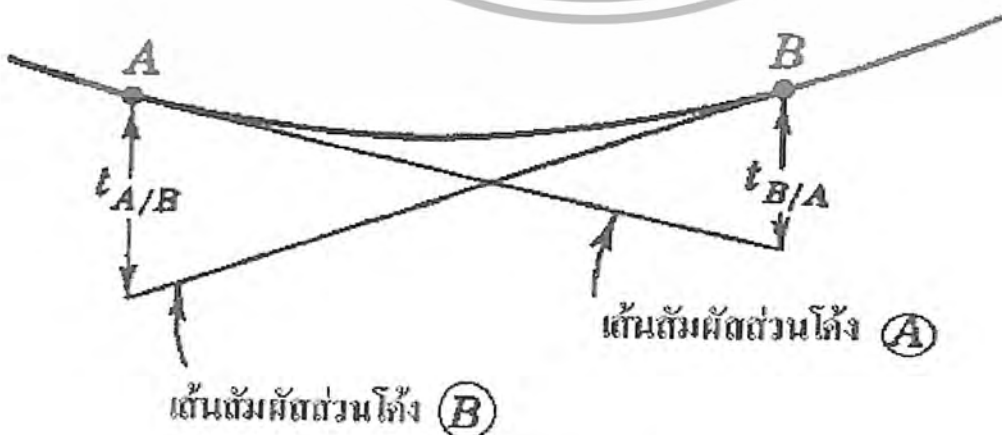
เอาค่า X คูณทั้งสองข้าง

$$xd\theta = \frac{M}{EI} \cdot dx$$

$$\int_{t_A}^{t_B} dt = \int_{x_A}^{x_B} \frac{M}{EI} x \cdot dx$$

$$t_{B/A} = \frac{1}{EI} \int_{x_A}^{x_B} x \cdot M dx$$

ความยาว  $t_{B/A}$  เป็นการ Deviation ของ B จากการลากเส้นสัมผัสที่จุด A หรือกำหนด Tangential Deviation ของ B เทียบกับ A ตัว Subscript บ่งบอกถึงวัดจาก B ไปหา A ดังรูปที่ 3



รูปที่ 2.11 แสดงการเขียน  $t_{A/B}$  และ  $t_{B/A}$

เอกสารนี้เป็นเอกสารที่สงวนไว้สำหรับการใช้งานเพื่อการศึกษาเท่านั้น ไม่อนุญาตให้นำไปใช้ประโยชน์ด้านการค้าไม่ว่ากรณีใดๆ ทั้งสิ้น อีกทั้งห้ามมิให้ดัดแปลงเนื้อหา และต้องอ้างอิงถึงเจ้าของเอกสารทุกครั้งที่มีการนำไปใช้

พิจารณาความสัมพันธ์ของสมการของ

$$\theta_{AB} = \int_{\theta_A}^{\theta_B} d\theta = \frac{1}{EI} \int_{x_A}^{x_B} Mdx$$

และสมการของ  $t_{B/A} = \frac{1}{EI} \int_{x_A}^{x_B} x.Mdx$  จะให้ทฤษฎีของพื้นที่-โมเมนต์ จากไดอะแกรมของโมเมนต์

เราจะพบว่า  $Mdx$  คือ พื้นที่ของตำแหน่งจาก A หรือ B ถ้าเรารวม  $\int Mdx$  ของ Element เข้าด้วยกันจะได้ทฤษฎี 1 ดังนี้

$$\theta_{AB} = \frac{1}{EI} (area)_{AB}$$

ถ้าขยายทางพีชคณิตเราจะได้ทฤษฎี 1 ดังนี้

**ทฤษฎีที่ 1** เปลี่ยนความลาดชันระหว่างเส้นสัมผัสส่วนโค้งอีลาสติก ณ ตำแหน่งจุด A และ B จะเท่ากับค่า

ของ  $\frac{1}{EI}$  คูณด้วยพื้นที่ไดอะแกรมโมเมนต์ระหว่างจุด A และ B

จากรูปไดอะแกรมของโมเมนต์ค่า  $x(Mdx)$  คือ โมเมนต์พื้นที่ที่รอบจุด B ของส่วนไดอะแกรมโมเมนต์ระหว่าง A และ B ฉะนั้น เราจะได้ทฤษฎีที่ 2 ดังนี้

$$t_{BA} = \frac{1}{EI} (area)_{BA} \cdot \bar{X}_B$$

**ทฤษฎีที่ 2** Deviation จุด B สัมพันธ์กับเส้นสัมผัสส่วนโค้งอีลาสติก ณ จุดทุก ๆ จุดในทิศทางตั้งฉากกับ

ตำแหน่งจุดกำเนิดของแกน จะมีค่าเท่ากับ  $\frac{1}{EI}$  คูณด้วยโมเมนต์พื้นที่ที่รอบ B ของส่วนไดอะแกรม

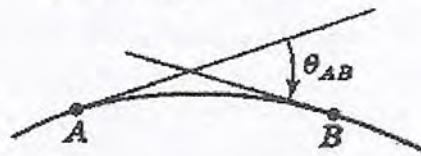
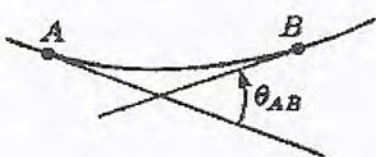
โมเมนต์ระหว่างจุด A และ B ค่าของ EI เรียกว่า Flexidity

เครื่องหมายวัดค่าระยะ  $t_{B/A}$  และ  $\theta_{AB}$  มีวิธีการวัดดังรูปที่ 4



ตำแหน่ง B อยู่เหนือเส้นสัมผัสเป็นค่าบวก

ตำแหน่ง B อยู่ใต้เส้นสัมผัสมีค่าเป็นลบ



ความลาดชันของ  $\theta_{AB}$  หมุนทวนเข็มนาฬิกา  
ของเส้นสัมผัสมีค่าเป็นบวก

ความลาดชันของ  $\theta_{AB}$  หมุนตามเข็มนาฬิกา  
ของเส้นสัมผัสมีค่าเป็นลบ

รูปที่ 2.12 แสดงเครื่องหมายของ Deviation

เอกสารนี้เป็นเอกสารที่สงวนไว้สำหรับการใช้งานเพื่อการศึกษาเท่านั้น ไม่อนุญาตให้นำไปใช้ประโยชน์ด้านการค้า  
ไม่ว่ากรณีใดๆ ทั้งสิ้น อีกทั้งห้ามมิให้ดัดแปลงเนื้อหา และต้องอ้างอิงถึงเจ้าของเอกสารทุกครั้งที่มีการนำไปใช้

การใช้ไดอะแกรมโมเมนต์ (Moment Diagrams by Parts)

เพื่อที่ใช้ทฤษฎีของโมเมนต์-พื้นที่ เราจะสามารถคำนวณค่าพื้นที่ส่วนของไดอะแกรมโมเมนต์ และโมเมนต์แต่ละพื้นที่รอบแกนก่อน เราต้องอินทิเกรต 2 ครั้ง คือ  $\int Mdx$  และ  $\int x(Mdx)$  ระหว่างค่าจำกัดที่ต้องการ จุดประสงค์ก็เพื่อแบ่งไดอะแกรมโมเมนต์ของพื้นที่ โดยที่เราทราบจุดศูนย์กลางของพื้นที่ โครงสร้างของ Diagrams by Parts ขึ้นกับ 2 หลักการใหญ่ ๆ ดังนี้

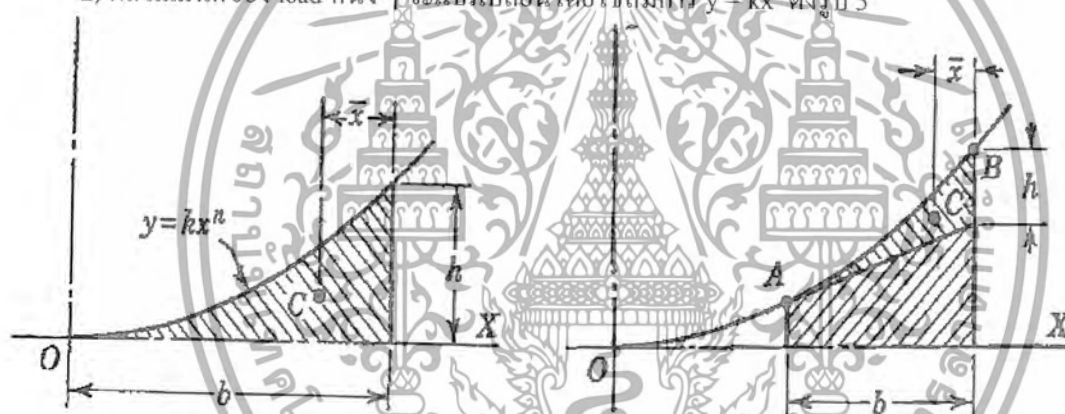
- 1) ผลลัพธ์ของโมเมนต์คัต ณ ตำแหน่งหน้าตัดใด ๆ โดย load ที่กระทำ คือ ผลรวมทางพีชคณิตของโมเมนต์คัต ณ ตำแหน่งหน้าตัด โดย load กระทำแยกออกจากกัน สถานะนี้เราจำได้

$$M = (n M)_L + (n M)_R$$

ค่าของ  $(n M)_L$  บ่งบอกถึงผลรวมของโมเมนต์ เกิดจากแรงทั้งหมดที่เกิดทางด้านซ้ายของหน้าตัดคูณด้วยระยะตั้งฉาก

$(n M)_R$  บ่งบอกถึงผลรวมของโมเมนต์ เกิดจากแรงทั้งหมดที่เกิดทางด้านขวาของหน้าตัดคูณด้วยระยะตั้งฉาก

- 2) ผลโมเมนต์ของ load หนึ่ง ๆ จะแปรเปลี่ยนโดยใช้สมการ  $y = kx^n$  ดังรูป 5



รูปที่ 2.13 แสดงไดอะแกรมโมเมนต์

รูปกราฟนี้แสดงสมการ  $y = kx^n$

พื้นที่ของกราฟ (area) =  $\frac{1}{n+1} \cdot bh$

ตำแหน่งจุดศูนย์กลาง ;  $(\bar{x}) = \frac{1}{n+2} \cdot b$

ค่าของ b คือฐาน , h คือความสูง

ในการคำนวณพื้นที่ภายใต้ส่วนโค้งระหว่างตำแหน่ง A และ B ใช้สูตร

$$(\text{area}) = \frac{1}{n+1} \cdot bh \quad \text{และ} \quad (\bar{x}) = \frac{1}{n+2} \cdot b$$

ค่าของ n เป็นค่า Degree แต่ละสมการเช่น  $n = 0, n = 2$

ทั้งนี้ขึ้นอยู่กับสมการ  $y = kx^n$  หาได้จากตารางที่ 1 ดังนี้

เอกสารนี้เป็นเอกสารที่สงวนไว้สำหรับการใช้งานเพื่อการศึกษาเท่านั้น ไม่อนุญาตให้นำไปใช้ประโยชน์ด้านการค้า

ไม่ว่ากรณีใดๆ ทั้งสิ้น อีกทั้งห้ามมิให้ดัดแปลงเนื้อหา และต้องอ้างอิงถึงเจ้าของเอกสารทุกครั้งที่มีการนำไปใช้

ตารางที่ 2.1 แสดงค่าพื้นที่ของไดอะแกรมโมเมนต์ และค่า  $\bar{x}$  ของภาระที่กระทำกับคานปลายยื่น

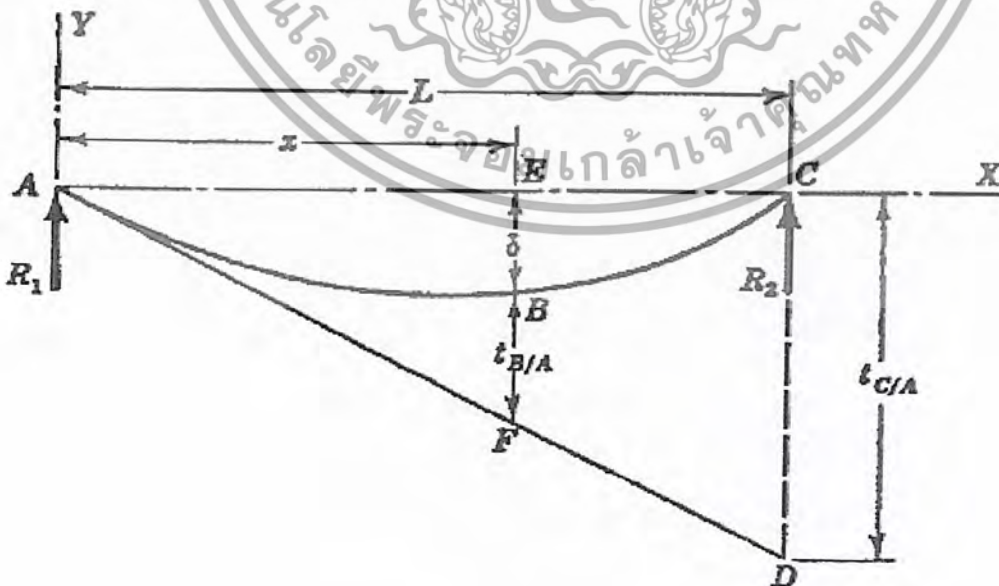
ประเภทของภาระ	คานปลายยื่น	สมการโมเมนต์	ดีกรีของสมการโมเมนต์	ไดอะแกรมโมเมนต์	AREA	$\bar{x}$
Couple		$M = -C$	Zero (i.e., $M = -Cx^0$ )		$\frac{1}{1}bh$	$\frac{1}{2}b$
Concentrated		$M = -Px$	1st		$\frac{1}{2}bh$	$\frac{1}{3}b$
Uniformly distributed		$M = -\frac{w}{2}x^2$	2nd		$\frac{1}{3}bh$	$\frac{1}{4}b$
Uniformly varying		$M = -\frac{w}{6L}x^3$	3rd		$\frac{1}{4}bh$	$\frac{1}{5}b$

2.2.3 การโก่งของคานปลายยื่น (Deflection of Cantilever Beam)

การโก่งของคานปลายยื่นนี้ จะใช้วิธี Tangential Deviation ที่เกิดขึ้น ณ ตำแหน่งต่างๆ บนคาน ซึ่งค่าของ Tangential Deviation นี้เป็นการวัดค่าในแนวตั้งจากจุด A เทียบกับเส้นสัมผัสที่ลากจากจุด B ของคาน ดังรูป 3 ที่กล่าวมาแล้ว

2.2.4 การโก่งในคานที่มีจุดรองรับอย่างง่าย (Deflection in Simply Supported Beam)

ในการหาค่าระยะโก่งของคานอย่างง่ายนี้ นอกจากจะใช้วิธีการอินทิกรัล 2 ครั้งแล้ว ยังสามารถใช้วิธีพื้นที่ โมเมนต์ โดยใช้หลักการของ Tangential Deviation ได้ดังรูปที่ 5 ต่อไปนี้



รูปที่ 2.14 แสดงการหาค่าระยะโก่งโดยใช้หลักการ Tangential Deviation

เอกสารนี้เป็นเอกสารที่สงวนไว้สำหรับการใช้งานเพื่อการศึกษาเท่านั้น ไม่อนุญาตให้นำไปใช้ประโยชน์ด้านการค้า ไม่ว่าจะกรณีใดๆ ทั้งสิ้น อีกทั้งห้ามมิให้ดัดแปลงเนื้อหา และต้องอ้างอิงถึงเจ้าของเอกสารทุกครั้งที่มีการนำไปใช้

จากรูปที่ 2.14 หากค่า ระยะ โคง์ของคาน ได้ตามลำดับขั้นตอนดังนี้

$$1) \quad t_{C/A} = \frac{1}{EI} (\text{area})_{AC} \cdot \bar{x}$$

2) จากความสัมพันธ์ระหว่างสามเหลี่ยมคล้ายหา EF ในเทอมของ  $t_{C/A}$

$$\text{จะได้ } \frac{EF}{x} = \frac{CD}{L}$$

$$\therefore EF = \frac{x t_{C/A}}{L} ; \quad (\text{ค่า } CD = t_{C/A})$$

3) คำนวณหา  $t_{B/A}$  จากความสัมพันธ์

$$t_{B/A} = \frac{1}{EI} (\text{area})_{BA} \cdot \bar{x}_B$$

4) เนื่องจาก EF คือผลรวมของ  $\delta$  และ  $t_{B/A}$  ค่าของ  $\delta$  ได้ดังนี้

$$\delta = EF - t_{B/A}$$

### 2.2.5 การหาระยะโค้งด้วยวิธีซูเปอร์โพสิชัน (Superposition)

นอกจากจะหาระยะโค้งด้วยกรรมวิธีอินทิกรัล 2 ครั้ง หรือวิธีโมเมนต์-พื้นที่แล้ว ยังสามารถหาระยะโค้งโดยวิธี Superposition ได้อีกด้วย ซึ่งกรรมวิธีนี้จะใช้วิธีแยกรูปออกเป็นรูปย่อยแล้วใช้ตารางที่ 2.2

เอกสารนี้เป็นเอกสารที่สงวนไว้สำหรับการใช้งานเพื่อการศึกษาเท่านั้น ไม่อนุญาตให้นำไปใช้ประโยชน์ด้านการค้า  
ไม่ว่ากรณีใดๆ ทั้งสิ้น อีกทั้งห้ามมิให้ดัดแปลงเนื้อหา และต้องอ้างอิงถึงเจ้าของเอกสารทุกครั้งที่มีการนำไปใช้

ตารางที่ 2.2 แสดงค่าพจน์ที่ ประเภทของภาระ โมเมนต์สูงสุด ความลาดชันที่ปลาย สมการระยะโค้ง ระยะโค้งสูงสุด

กรณี	ประเภทของภาระ (Load)	โมเมนต์สูงสุด	ความลาดชันที่ปลาย	สมการของระยะโค้ง (ถ้า y คงเป็นบวก)	ระยะโค้งสูงสุด
1		$M = -PL$	$\theta = \frac{PL^2}{2EI}$	$EIy = \frac{Px^2}{6}(3L-x)$	$\delta = \frac{PL^3}{3EI}$
2		$M = -Pa$	$\theta = \frac{Pa^2}{2EI}$	$EIy = \frac{Px^2}{6}(3a-x)$ for $0 < x < a$ $EIy = \frac{Pa^2}{6}(3x-a)$ for $a < x < L$	$\delta = \frac{Pa^2}{6EI}(3L-a)$
3		$M = \frac{wL^2}{2}$ $\theta = \frac{wL}{2}$	$\theta = \frac{wL^3}{6EI}$ $\delta = \frac{wL^4}{8EI}$	$EIy = \frac{wx^2}{24}(6L^2 - 4Lx + x^2)$	$\delta = \frac{wL^4}{8EI} = \frac{WL^3}{8EI}$
4		$M = \frac{wL^2}{6}$ $\theta = \frac{wL}{3}$	$\theta = \frac{24EI}{wL^3}(10L^3 - 10L^2x + 5Lx^2 - x^3)$ $\delta = \frac{wL^4}{12EI}$	$EIy = \frac{wx^2}{120L}(10L^3 - 10L^2x + 5Lx^2 - x^3)$	$\delta = \frac{wL^4}{30EI} = \frac{WL^3}{15EI}$
5		$M = -M$	$\theta = \frac{ML}{EI}$	$EIy = \frac{Mx^2}{2}$	$\delta = \frac{ML^2}{2EI}$
6		$M = \frac{PL}{4}$	$\theta_1 = \theta_2 = \frac{PL^2}{16EI}$	$EIy = \frac{Px}{12}(\frac{3}{4}L^2 - x^2)$ for $0 < x < \frac{L}{2}$	$\delta = \frac{PL^3}{48EI}$

เอกสารนี้เป็นเอกสารที่สงวนไว้สำหรับการใช้งานเพื่อการศึกษาเท่านั้น ไม่อนุญาตให้นำไปใช้ประโยชน์ด้านการค้า ไม่ว่าจะกรณีใดๆ ทั้งสิ้น อีกทั้งห้ามมิให้ดัดแปลงเนื้อหา และต้องอ้างอิงถึงเจ้าของเอกสารทุกครั้งที่มีการนำไปใช้

ตารางที่ 2.2 (ต่อ) แสดงค่าพื้นที่ ประเภทของภาระ โมเมนต์สูงสุด ความลาดชันที่ปลาย สมการระยะโค้ง ระยะโค้งสูงสุด

7		$M = \frac{Pab}{L}$ <p>at <math>x=0</math></p>	$\theta_1 = \frac{Pb(L^2 - b^2)}{6EI}$ $\theta_2 = \frac{Pa(L^2 - a^2)}{6EI}$	$Ely = \frac{Pbx}{6L}(L^2 - x^2 - b^2) \text{ for } 0 < x < a$ $Ely = \frac{Pb}{6L} \left[ \frac{L}{b}(x-a)^3 + (L^2 - b^2)x - x^3 \right]$ <p>for <math>a &lt; x &lt; L</math></p>	$\delta = \frac{Pb(L^2 - b^2)\sqrt{3}}{9\sqrt{3}EI}$ <p>at <math>x = \sqrt{\frac{L^2 - b^2}{3}}</math></p> <p>At center (not max.)</p> $\delta = \frac{Pb}{48EI}(3L^2 - 4b^2)$ <p>when <math>a &gt; b</math></p>
8		$M = \frac{wL^2}{8}$ $= \frac{wL}{8}$	$\theta_1 = \frac{wL^3}{24EI}$ $\theta_2 = \frac{wL^3}{24EI}$	$Ely = \frac{wx}{24}(L^3 - 2Lx^2 + x^3)$	$\delta = \frac{5wL^4}{384EI} = \frac{5WL^3}{384EI}$ <p>at <math>x = 0.519L</math></p>
9		$M = \frac{wL^2}{9\sqrt{3}}$ $= \frac{2wL}{9\sqrt{3}}$	$\theta_1 = \frac{7wL^3}{360EI}$ $\theta_2 = \frac{8wL^3}{360EI}$	$Ely = \frac{wx}{360L}(7L^4 - 10L^2x^2 + 3x^4)$	$\delta = \frac{2.5wL^4}{384EI} = \frac{5WL^3}{384EI}$ <p>at <math>x = 0.519L</math></p>
10		$M = \frac{wL^2}{12}$ $= \frac{wL}{6}$	$\theta_1 = \theta_2 = \frac{5wL^3}{192EI}$	$Ely = \frac{wx}{960L}(25L^4 - 40L^2x^2 + 16x^4)$ <p>for <math>0 &lt; x &lt; \frac{L}{2}</math></p>	$\delta = \frac{wL^4}{120EI} = \frac{WL^3}{60EI}$
11		$M = M$	$\theta_1 = \frac{ML}{6EI}$ $\theta_2 = \frac{ML}{3EI}$	$Ely = \frac{Mx}{6} \left( \frac{x^2}{L} - \frac{x}{L} \right)$	$\delta = \frac{ML^2}{9\sqrt{3}EI}$ <p>at <math>x = \frac{L}{\sqrt{3}}</math></p> <p>At center (not max.)</p> $\delta = \frac{ML^2}{16EI}$
12		$M = M$	$\theta_1 = \frac{ML}{3EI}$ $\theta_2 = \frac{ML}{6EI}$	$Ely = \frac{Mx}{6L}(L - x)(2L - x)$	$\delta = \frac{ML^2}{9\sqrt{3}EI}$ <p>at <math>x = \left( L - \frac{L}{\sqrt{3}} \right)</math></p> <p>At center (not max.)</p> $\delta = \frac{ML^2}{16EI}$

เอกสารนี้เป็นเอกสารที่สงวนไว้สำหรับการใช้งานเพื่อการศึกษาเท่านั้น ไม่อนุญาตให้นำไปตีประโยชน์ด้านการค้า ไม่ว่าจะกรณีใดๆ ทั้งสิ้น อีกทั้งห้ามมิให้ดัดแปลงเนื้อหา และต้องอ้างอิงถึงเจ้าของเอกสารทุกครั้งที่มีการนำไปใช้

## 2.3 สเตรนเกจชนิดความต้านทาน

สเตรนเกจคืออุปกรณ์ที่ความต้านทานของตัวมันเปลี่ยนแปลงเมื่อถูกทำให้ยืดหรือหด หรือถูกทำให้เกิดความเครียด ดังนั้นสเตรนเกจจึงเป็นอุปกรณ์ที่ใช้สำหรับวัดความเครียดมากที่สุด คุณลักษณะต่างๆ ที่ควรพิจารณาในการตัดสินใจเลือกใช้สเตรนเกจในงานเฉพาะอย่าง มีดังนี้

1. ค่าคงตัวเปรียบเทียบ ( Calibration constant ) ของสเตรนเกจควรจะเสถียร ไม่ควรเปลี่ยนแปลงเวลา อุณหภูมิ หรือตัวประกอบแวดล้อมอื่นๆ
2. สเตรนเกจควรจะสามารถวัดความเครียด ( strain ) ด้วยความแม่นยำ  $\pm 1 \mu \text{ in/in}$  ( $\mu\text{m/m}$ ) ในช่วงความเครียดขนาดใหญ่ ( หรือความผิดพลาด  $\pm 10\%$  )
3. ขนาดเกจ ( ความยาว  $L_0$  และความกว้าง  $W_0$  ของเกจ ) ควรจะเล็กเพื่อความเครียดจะถูกประมาณด้วยความผิดพลาดเล็กน้อย
4. การตอบสนองของเกจซึ่งถูกควบคุมด้วยความเฉื่อยของตัวเกจ ควรเพียงพอที่จะบันทึกความเครียดพลวัต (Dynamics strain) ด้วยองค์ประกอบความถี่มากกว่า 100 Hz.
5. ระบบเกจควรมีทั้งแบบอ่านค่า ณ ที่ตำแหน่งติดตั้ง และอ่านระยะไกล
6. เอาต์พุตจากเกจในระหว่างช่วงการอ่าน ควรจะเป็นอิสระจากอุณหภูมิ และพารามิเตอร์แวดล้อมอื่นๆ
7. เกจ และอุปกรณ์ช่วย ทั้งคู่ควรมีราคาถูกเพื่อใช้ประโยชน์กว้างขวาง
8. ระบบเกจควรติดตั้ง และสามารถใช้งานง่าย
9. เกจควรจะตอบสนองแบบเชิงเส้นต่อความเครียดในช่วงกว้าง
10. เกจควรจะเหมาะสมสำหรับใช้เป็นส่วนรับรู้ในระบบทรานสดิวเซอร์อื่นๆ เมื่อปริมาณที่ไม่ทราบค่าเช่น ความดัน ถูกวัดในเทอมของความเครียด

### 2.3.1 สเตรนเกจแบบกีดขึ้นรอยแผ่นโลหะบาง

ค่าความไว  $S_A$  ของโลหะตัวนำต่อความเครียดเป็นไปตามสมการ

$$S_A = \frac{dR/R}{\epsilon_a} = \frac{d\rho/\rho}{\epsilon_a} + (1 + 2\nu) \dots (2.35)$$

ซึ่งเป็นไปได้ที่จะวัดความเครียดด้วยลวดยาวตรง ถ้าทำการตรวจวัดการเปลี่ยนแปลงความต้านทาน เมื่อลวดถูกกระทำให้เกิดความเครียด อย่างไรก็ตามการใช้วัด  $dR$  ( ในทางปฏิบัติ  $\Delta R$  ) มีแหล่งจ่ายกำลังซึ่งถูกจำกัดกระแส และกำลังสูญเสีย ( Power dissipated ) ของเกจเองก็ถูกจำกัด ด้วยเหตุผลนี้โดยปกติสเตรนเกจจะถูกสร้างขึ้นมาให้มีความต้านทาน  $120 \Omega$  หรือมากกว่า ด้วยความต้านทานที่สูงส่วนมากแล้วสเตรนเกจไม่สามารถที่จะทำได้ในลักษณะลวดเส้นตรงยาวเพราะทำให้เกยยาวมากเกินไป

เมื่อสเตรนเกจชนิดความต้านทานไฟฟ้ารู้จักครั้งแรก (1936-1956) นั้น เกจทำจากเส้นลวดที่มีเส้นผ่านศูนย์กลางเล็กมากมีรูปร่างเป็นตาราง ภายหลังปี 1950 เกจส่วนใหญ่จะทำจาก Ultra-thin metal foil โดยการใช้กระบวนการโพโตเอตซิง (Photoetching process) กระบวนการนี้สามารถจะทำเกจในลักษณะใดก็ได้ โดยเกจจะมีขนาดเล็กมาก เกจมาตรฐานที่ใช้ปัจจุบันมีความต้านทาน  $120 \Omega$  และ  $350$

เอกสารนี้เป็นเอกสารที่สงวนไว้สำหรับการใช้งานเพื่อการศึกษาเท่านั้น ไม่อนุญาตให้นำไปใช้ประโยชน์ด้านการค้าไม่ว่ากรณีใดๆ ทั้งสิ้น อีกทั้งห้ามมิให้ดัดแปลงเนื้อหา และต้องอ้างอิงถึงเจ้าของเอกสารทุกครั้งที่มีการนำไปใช้

$\Omega$  แต่ในบางกรณี อาจใช้ 500  $\Omega$  และ 1000  $\Omega$  เกจแผ่นโลหะบางส่วนมากทำจาก Constant, Karmar หรือ Isoelastic alloys

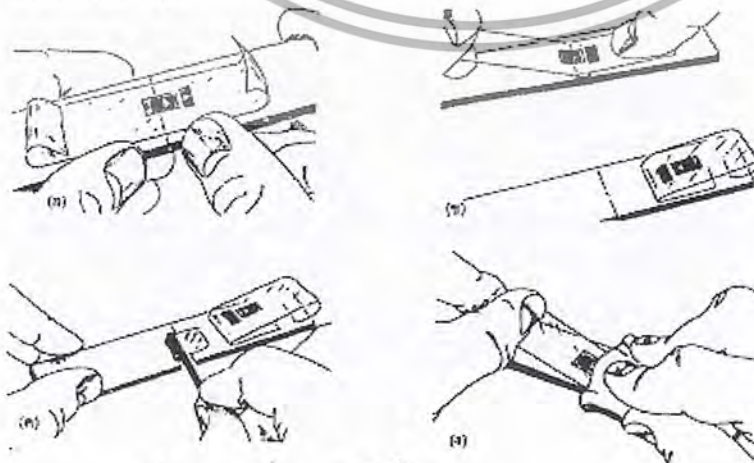
สเตรนเกจหรือกริดฟิล์มโลหะชั้นรอนี้ จะมีลักษณะบอบบางเปราะและฉีกขาดได้ง่าย เพื่อเป็นการหลีกเลี่ยงปัญหาดังกล่าว ฟิล์มโลหะที่ถูกผนึกไว้กับแผ่นพลาสติกบงก่อนเข้ากระบวนการโฟโตเอตซิง แผ่นพลาสติกบางจะทำหน้าที่เป็นวัสดุรองรับ ตัวรองรับจะมีเครื่องหมายเส้นกึ่งกลางของความยาวและความกว้างของเกจ เพื่อความสะดวกในการติดตั้ง และทำหน้าที่เป็นฉนวนไฟฟ้า ระหว่างสเตรนเกจกับวัสดุตัวอย่างที่นำสเตรนเกจมาติดตั้ง

สเตรนเกจที่ใช้งานกันอยู่ทั่วไปนั้นจะใช้ Polyimide plastic ที่มีความเหนียวและยืดหยุ่นเป็นวัสดุรองรับ สำหรับการใส่สเตรนเกจเป็นทรานสดิวเซอร์ ซึ่งความถูกต้องแม่นยำและความเป็นเชิงเส้นมีความสำคัญมาก ๆ จะใช้อีพอกซีที่บางมาก เพราะและมีโมดูลัสสูงเป็นตัวรองรับ เมื่อสเตรนเกจนำไปใช้งานที่มีความเครียดเป็นวัฏจักรระดับสูง หรือเมื่อใช้ที่อุณหภูมิสูง -750 °F (400°C) จะใช้อีพอกซีเสริมใยแก้ว (Glass-reinforced epoxy) เป็นตัวรองรับ

สำหรับการใช้งานที่อุณหภูมิสูงมาก ๆ เกจที่สามารถถอดตัวรองรับออกได้ก็มีใช้ ตัวรองรับจะถูกถอดออกระหว่างการติดตั้งเกจ ตัวยึดเซรามิกจะถูกใช้เพื่อรักษารูปร่างของสเตรนเกจ และเป็นฉนวนระหว่างเกจวัสดุตัวอย่างที่ติดเกจ

### 2.3.2 การติดตั้งสเตรนเกจ

การติดตั้งสเตรนเกจชนิดเคลือบ ซึ่งเป็นเกจที่มีความแม่นยำและมีคุณภาพสูง ต้องติดกับวัสดุตัวอย่าง (Specimen) ด้วยตัวยึด หรือกาวที่ถูกดอง และด้วยวิธีการยึดที่ถูกวิธี ตัวยึดหรือกาวทำหน้าที่สำคัญที่สุด ในระบบวัดความเครียดเพราะว่าเป็นตัวส่งผ่านการกระจัดที่ผิวหน้าของวัสดุตัวอย่างไปยังสเตรนเกจ โดยไม่มีการเพี้ยน จากประสบการณ์พบว่า การเลือกตัวยึด หรือกาว และการอบกาว ที่ไม่ถูกต้อง หรือกาวมีความยืดหยุ่นเหนียว (Visco elastic) จะทำให้เกิดฮิสเตอร์ซิส และสัญญาณสูญหาย เนื่องจากการผ่อนคลายความเค้น การติดตั้งที่ให้ผลลัพธ์ที่ดีที่สุดคือ เมื่อติดตั้งแล้วแข็งแรง ความเหนียวต่ำ อบกาวอย่างดี ซึ่งมีรูปแบบเป็นเส้นเชื่อมยึดหยุ่นที่



รูปที่ 2.15 แสดงการติดตั้งสเตรนเกจ

เอกสารนี้เป็นเอกสารที่สงวนไว้สำหรับการใช้งานเพื่อการศึกษาเท่านั้น ไม่อนุญาตให้นำไปใช้ประโยชน์ด้านการค้า ไม่ว่าจะกรณีใดๆ ทั้งสิ้น อีกทั้งห้ามมิให้ดัดแปลงเนื้อหา และต้องอ้างอิงถึงเจ้าของเอกสารทุกครั้งที่มีการนำไปใช้

ผิวของชิ้นส่วนซึ่งจะเอาเงาไปติดตั้งต้องมีการเตรียมอย่างระมัดระวังก่อนการติดตั้งเงา การเตรียมนี้จะประกอบด้วย การขัดสีและฝุ่นออก แล้วใช้กระดาษทรายขัดผิวให้เรียบ ไม่ต้องให้เป็นมันวาว ใช้สารละลายยาคัดไขมันและน้ำออกสาค่ายผิวของชิ้นงาน หรือวัสดุตัวอย่างอย่างควรกัดด้วยสารละลาย เพื่อให้การติดผิวชิ้นส่วนหรือของตัวอย่างถูกต้อง ตามกระบวนการทางเคมี

ต่อจากนั้นก็กำหนดตำแหน่งติดตั้งบนวัสดุตัวอย่างและเงาโดยไม่ต้องใช้กาว ทำเครื่องหมายบางๆ บนเทปใสที่ติดเงาไว้ ดังแสดงในรูป 1-(ก) จากนั้นก็ดึงปลายเทปใสข้างหนึ่งขึ้น แล้วทำเครื่องหมายใต้ตำแหน่งเงบบนวัสดุตัวอย่างนั้นตามรูปที่ 1-(ข) ผสมกาวแล้วทาบนวัสดุตัวอย่างตรงที่ทำเครื่องหมายใต้เงาดังรูปที่ 1-(ค) ติดเงาลงที่ตำแหน่งเดิมด้วยเทปกดเงาด้วยนิ้วจนกระทั่งกาวส่วนเกินที่อยู่ใต้เงาถูกรีดออกมาที่ขอบของเงาเป็นเส้นเชื่อมบางๆ ดังรูป 1-(ง)

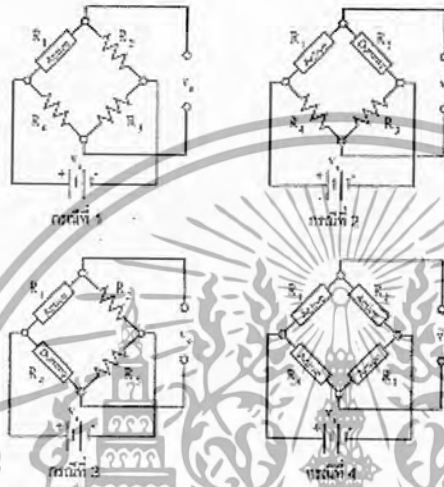
เมื่อทำการติดตั้งเงานั้น กาวจะต้องอยู่ภายใต้แรงกดและอุณหภูมิที่ถูกต้องในช่วงเวลาที่ต้องการ เพื่อให้แน่ใจว่าการอบกาวนั้นสมบูรณ์ กระบวนการนี้เป็นสิ่งสำคัญเพราะกาวจะขยายตัวในระหว่างมีความร้อนเกิดขึ้น จากประสบการณ์ปริมาณมากคือจะทำให้เงาผิดรูปไปเนื่องจากกาวมีความแข็งแรงเพียงพอที่จะมีผลต่อการเปลี่ยนรูปของเงา การเปลี่ยนแปลงปริมาตรของกาวมีอิทธิพลต่อความต้านทานของเงา ที่สำคัญอย่างยิ่งคือการหดตัวหลังการอบ ซึ่งมีผลต่อความต้านทานของเงาตลอดไปภายหลังกาวถูกอบอย่างสมบูรณ์ ถ้าการวัดความเครียดของเงาซึ่งกาวมีการ โพลีเมอร์ไรซ์ไม่สมบูรณ์เป็นเวลานาน สัญญาณจากเงาจะเลื่อนไหลไปตามเวลา และความแม่นยำของข้อมูลจะเสื่อมไปอย่างมาก

ในการติดตั้งเงา กาวที่ใช้มีสองชนิดคือ โชนาโนอะครีเลต (Cyanoacrylate) และอีพอกซีไซยาโนอะครีเลต (Epoxy cyanoacrylate) มีข้อดีคือใช้ติดตั้งง่ายไม่ต้องการความร้อนสามารถใช้แรงกดเบาๆ โดยใช้หัวแม่มือเพียง 10 นาทีก็พอที่จะทำให้เงาเกิดการพอลิเมอร์ไรซ์ได้สมบูรณ์ ข้อเสียของกาวชนิดนี้คือเสื่อมความแข็งแรง เมื่อใช้ไปนานๆ เมื่อดูดซับน้ำ และเมื่ออุณหภูมิสูงขึ้นในเรื่องเหล่านี้อีพอกซีจะดีกว่า อย่างไรก็ตามอีพอกซีใช้ยากกว่าเพราะต้องใช้ความดัน ภายหลังการติดกาวเรียบร้อยแล้วควรระวังป้องกันเงาจากน้ำ โดยการเคลือบด้วยซีฟิ่ง หรือน้ำยาขัดเงาพอลิยูรีเทน

เอกสารนี้เป็นเอกสารที่สงวนไว้สำหรับการใช้งานเพื่อการศึกษาเท่านั้น ไม่อนุญาตให้นำไปใช้ประโยชน์ด้านการค้า ไม่ว่ากรณีใดๆ ทั้งสิ้น อีกทั้งห้ามมิให้ดัดแปลงเนื้อหา และต้องอ้างอิงถึงเจ้าของเอกสารทุกครั้งที่มีการนำไปใช้

2.4 วงจรปรับแต่งสัญญาณวีตสโตนบริดจ์

วีตสโตนบริดจ์เป็นวงจรที่ธรรมดาที่สุดที่ใช้แปลงผันการเปลี่ยนแปลง  $\Delta R / R$  จากสเตรนเกจเป็นแรงดันเอาต์พุต  $V_o$  การใช้งานสำหรับจุดประสงค์นี้จะได้พิจารณาในหัวข้อนี้ คำถามแรกที่เกี่ยวข้องกับการใช้วีตสโตนบริดจ์สำหรับการวัดความเครียด ก็คือต่อเกจเข้าที่ตำแหน่งไหนของบริดจ์ คำตอบของคำถามนี้พิจารณาจากการจัดเรียงบริดจ์ที่ใช้กันทั่วไป 4 กรณีดังนี้



รูป 2.16 แสดงการจัดสเตรนเกจ 4 แบบ ในวงจรวีตสโตนบริดจ์

กรณีที่ 1 การจัดบริดจ์เพื่อใช้งานเกจเพียงตัวเดียว โดยติดตั้งเกจไว้บนตำแหน่ง  $R_1$  ซึ่งจะได้เกจสำหรับวัดความเครียดได้ทั้งแบบสถิตและพลวัต เมื่อไม่จำเป็นต้องคำนึงถึงการชดเชยอุณหภูมิ ความต้านทาน  $R_1 = R_g$  และความต้านทานอื่นๆ อีก 3 ตัว จะถูกเลือกเพื่อให้ความไวมากที่สุด ในขณะที่ต้องการรักษาเงื่อนไขการสมดุลไว้ที่  $R_1 R_3 = R_2 R_4$

ความไว  $S_s$  ของระบบสเตรนเกจวีตสโตนบริดจ์นิยามว่าเป็นผลคูณของความไวของเกจ  $S_g$

$$S_s = S_g S_c = \frac{\Delta R_g / R_g}{\epsilon} \left( \frac{\Delta V_o}{\Delta R_g / R_g} \right) = \frac{\Delta V_o}{\epsilon} \dots\dots\dots(2.36)$$

จากสมการ  $\frac{\Delta R}{R} = S_g \epsilon$  และ  $S_{cv} = \frac{r}{1+r} \sqrt{P_t R_t}$

จะได้

$$S_s = \frac{r}{1+r} S_g \sqrt{P_g R_g} \dots\dots\dots(2.37)$$

จากสมการ 5.2 แสดงว่าความไวของระบบถูกควบคุมโดยประสิทธิภาพของวงจร  $r/(1+r)$  และคุณลักษณะของสเตรนเกจ  $S_g, P_g, R_g$  ที่สำคัญที่สุดคือคุณลักษณะของสเตรนเกจซึ่งเปลี่ยนได้ช่วงกว้างด้วยการเลือกเกจ  $S_g, R_g$  ขึ้นอยู่กับวัสดุที่นำมาใช้ทำเกจ และรูปแบบของเกจ ส่วนกำลังสูญเสีย  $P_g$  เป็น

เอกสารนี้เป็นเอกสารที่สงวนไว้สำหรับการใช้งานเพื่อการศึกษาเท่านั้น ไม่อนุญาตให้นำไปใช้ประโยชน์ด้านการค้า ไม่ว่าจะกรณีใดๆ ทั้งสิ้น อีกทั้งห้ามมิให้ดัดแปลงเนื้อหา และต้องอ้างอิงถึงเจ้าของเอกสารทุกครั้งที่มีการนำไปใช้

คุณลักษณะของเกจที่ยากที่จะกำหนดลงไปเนื่องจาก  $P_g$  ขึ้นอยู่กับการนำความร้อน และความสามารถในการรับความร้อนของวัสดุตัวอย่างที่จะนำเกจไปติด ดังนั้นจึงนิยามความหนาแน่นกำลัง (Power density)  $P_D$  ขึ้นมาโดยใช้พิจารณาโดยนิยามว่า

$$P_D = \frac{P_g}{A} \dots\dots\dots(2.38)$$

เมื่อ  $P_g$  = คือกำลังสูญเสียที่เกจสามารถขับออกมา

$A$  = คือพื้นที่ของเกจส่วนที่เป็นกริด

ความหนาแน่นกำลัง  $P_D$  ที่แนะนำสำหรับวัสดุต่างๆ และ ของทดสอบชนิดต่างๆ กำหนดใน

ตาราง 2.3

ตาราง 2.3 ความหนาแน่นกำลังที่แนะนำ

Power Density $P_D$		Specimen Conditions
W/in <sup>2</sup>	W/mm <sup>2</sup>	
5-10	0.008-0.016	Heavy aluminum or copper sections
2-5	0.003-0.008	Heavy steel sections
1-2	0.0015-0.003	Thin steel sections
0.2-0.5	0.0003-0.0008	Fiberglass, glass, ceramics
0.02-0.05	0.00003-0.00008	Unfilled plastics

จากรูปที่ 2.16 เมื่อแกนของบริดจ์ทั้ง 4 มีความต้านทานเท่ากัน  $r = 1$  ในกรณีนี้แรงดันบริดจ์หาได้จากสมการ

$$V_s = 2\sqrt{Ap_D R_g} \dots\dots\dots(2.39)$$

เมื่อ  $r \neq 1$  แรงดันบริดจ์ จะหาได้จากสมการ

$$V_s = (1+r)\sqrt{Ap_D R_g} \dots\dots\dots(2.40)$$

กำลังสูญเสียความร้อนที่ถูกปล่อยออกมาโดยเกจจะเปลี่ยนแปลงโดยขอบเขตที่กว้างมาก ขึ้นอยู่กับขนาดของเกจและวัสดุตัวอย่างที่นำเกจไปติดตั้ง

ความไวของระบบสามารถทำให้สูงสุดได้โดยเลือกเกจที่มีความต้านทานสูงๆ และมีพื้นที่กริดมากๆซึ่งมีความผิดพลาดที่ยอมรับได้ที่ไม่เปลี่ยนแปลง อันเนื่องจากผลของความยาวและความกว้างของเกจ

ตัวประกอบที่สอง ที่ควบคุมความไวของระบบคือประสิทธิภาพของวงจร  $r/(1+r)$  ค่าของ  $r$  ควรเลือกให้ประสิทธิภาพวงจรเพิ่มขึ้นแต่ไม่ควรสูงมากจนต้องเพิ่มแรงดันที่กำหนด โคนสมการ 5.5 โดยปกติ  $r$  จะอยู่ในช่วง 3-5 ซึ่งจะให้อัตราประสิทธิภาพของวงจรอยู่ระหว่าง 75-83%

กรณีที่ 2 การจัดวงจรบริดจ์แบบนี้จะใช้เกจ 2 ตัว ตัวหนึ่งเป็นเกจ แอกทีฟ (Active gage) ใช้สำหรับการวัดต่อกับแขน  $R_1$  เกจอีกตัวหนึ่งเป็นเกจหลอก (Cummy gage) ต่อกับแขน  $R_2$  ทำหน้าที่เป็นตัวตัดสัญญาณเอาต์พุตของเกจแอกทีฟที่เปลี่ยนไป เนื่องจากการเปลี่ยนแปลงอุณหภูมิของสิ่งแวดล้อมในช่วงที่ทำการวัด  $R_3, R_4$  ต่อด้วยความต้านทานคงตัว

เอกสารนี้เป็นเอกสารที่สงวนไว้สำหรับการใช้งานเพื่อการศึกษาเท่านั้น ไม่อนุญาตให้นำไปใช้ประโยชน์ด้านการค้า ไม่ว่าจะกรณีใดๆ ทั้งสิ้น อีกทั้งห้ามมิให้ดัดแปลงเนื้อหา และต้องอ้างอิงถึงเจ้าของเอกสารทุกครั้งที่มีการนำไปใช้



กรณีที 4 ในกรณีนี้จะใช้เกจแอคทีฟ 4 ตัว ต่อเข้ากับแขนบริดจ์แขนละเกจ ดังนั้น  $r = 1$  เมื่อเกจติดตั้งอยู่บนวัสดุตัวอย่างเช่น กานยื่น (Cantiliver beam) ที่โค้งงอด้วยความเครียดดึง (Tensile strains) บนเกจ 1 และ เกจ 3 ซึ่งอยู่ที่ผิวของกานและความเครียดอัด (Compressive strains) บนเกจ 2 และ เกจ 4 บนผิวด้านล่างของกานดังนั้น

$$\frac{\Delta R_1}{R_1} = -\frac{\Delta R_2}{R_2} = \frac{\Delta R_3}{R_3} = -\frac{\Delta R_4}{R_4} \dots\dots\dots (C)$$

แทนค่าลงในสมการ 
$$\Delta V_o = \frac{r}{(1+r)^2} \left[ \frac{\Delta R_1}{R_1} - \frac{\Delta R_2}{R_2} + \frac{\Delta R_3}{R_3} - \frac{\Delta R_4}{R_4} \right] V_s$$

จะได้ 
$$\Delta V_o = \frac{1}{4} V_s \left[ 4 \frac{\Delta R_g}{R_g} \right] = V_s \frac{R_g}{R_g} \dots\dots\dots (2.43)$$

วิศโตนบริดจ์ได้เพิ่มความต้านทานที่เปลี่ยนค่าได้เป็น 4 ตัวทำให้แรงดันเอาต์พุตเพิ่มขึ้น ดังนั้น ความไวของระบบ

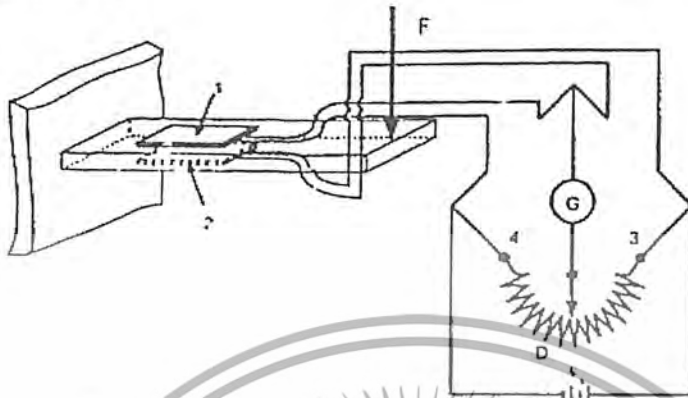
$$S_s = \frac{1}{2} (4S_g \sqrt{p_g R_g}) \cong 2S_g \sqrt{p_g R_g} \dots\dots\dots (2.44)$$

จะเห็นได้ว่ากรณีนี้ความไวของระบบที่ดีที่สุดแต่ราคาเพิ่มมากขึ้น ในกรณีต้องการเพิ่มความไวของระบบอาจใช้วงจรขยายที่มีคุณภาพสูงและอัตราขยายสูงแทนจะถูกกว่า ยกเว้นมีจุดประสงค์อื่นด้วยจึงจะใช้กรณีที 4

**2.4.1 ค่าคงตัวบริดจ์**

สตรนเกจที่นำไปติดกับวัสดุตัวอย่างเพื่อรับรู้ความเครียดเมื่อนำมาต่อเข้ากับวงจบบริดจ์เอาต์พุตที่ออกจากวงจบบริดจ์แต่ละแบบจะไม่เท่ากัน เมื่อนำเอาต์พุตนี้ไปเทียบกับเอาต์พุตที่ได้จากวงจบบริดจ์ในกรณีที่ใช้เกจเพียงตัวเดียวจะได้ค่าคงตัวค่าหนึ่ง เรียกว่า ค่าคงตัวบริดจ์ (Bridge constant) ซึ่งนิยามโดยสมการ

จากรูป 2.16 ค่าคงตัวบริดจ์จะมีค่าเท่ากับ 2 เพราะบริดจ์ให้เอาต์พุตออกมาเป็น 2 เท่าของที่ได้จากการใช้เกจเพียงตัวเดียวรับรู้ความเครียด ถ้าใช้เกจ 4 ตัว ดังกรณีที่ 4 เกจ แต่ละตัวจะให้เอาต์พุตออกมา 1 ใน 4 ของเอาต์พุตจากวงจรบริดจ์



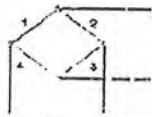
รูปที่ 2.17 การจัดบริดจ์โดยใช้สเตรนเกจรับรู้ความเครียด 2 ตัว

ดังนั้นค่าคงตัวบริดจ์จะเป็น 4 ในกรณีที่ติดตั้งเกจเพื่อรับรู้ความเครียดตามขวาง ค่าคงตัวบริดจ์จะเป็นฟังก์ชันของอัตราส่วนปัวซองดังแสดงตาราง 2.4 ตาราง 2.4 ชื่อนี้แนะนำในการติดตั้งสเตรนเกจ

Standard Bridge Configuration	Requirement for null	$R_1 = R_2$ $R_3 = R_4$	Output of bridge
K = 1	Cells sense strain perpendicular to stress. Good bonded to 2 or 3 gauges.		Output of bridge = Output of primary gauges
K = 2	Cells sense strain parallel to stress. Try to avoid bridge wires under compression. Use main bridge primary gauges in stress 2 and 4; secondary gauges in stress 1 and 3.		
K = 1 + ν	Cells sense strain perpendicular to stress and are bonded to 2 gauges.		
K = 2(1 + ν)	Cells in bridge sense stress for compression and bonding.		
K = 1	Primary gauges sense strain. Assembly bonded when "cure" gauges are bonded in 2 and 4.		
	Bridge gauges sense the axial and lateral component of loading.		

เอกสารนี้เป็นเอกสารที่สงวนไว้สำหรับการใช้งานเพื่อการศึกษาเท่านั้น ไม่อนุญาตให้นำไปใช้ประโยชน์ด้านการค้า ไม่ว่าจะกรณีใดๆ ทั้งสิ้น อีกทั้งห้ามมิให้ดัดแปลงเนื้อหา และต้องอ้างอิงถึงเจ้าของเอกสารทุกครั้งที่มีการนำไปใช้

ต่อ ตาราง 2.4 ข้อแนะนำในการติดตั้งสเตรนเกจ



Requirement for null :  $\frac{R_1}{R_2} = \frac{R_4}{R_3}$

$K = \text{Bridge constant} = \frac{\text{Output of bridge}}{\text{Output of primary gauge}}$

<p><math>K = 2</math></p>	<p>Temperature effects and axial and torsional components are compensated.</p>
<p><math>K = 4</math></p>	<p>Four-arm bridge. Temperature effects and axial and torsional components are compensated.</p>
<p><math>K = (a+b)/a</math></p>	<p>Temperature effects and axial and torsional components are compensated.</p>
<p><math>K = 1 + (b/a)v</math></p>	<p>Temperature effects are compensated. Axial and torsional load components are not compensated.</p>

ต่อ ตาราง 2.4 ข้อแนะนำในการติดตั้งสเตรนเกจ



Requirement for null :  $\frac{R_1}{R_2} = \frac{R_4}{R_3}$

$K = \text{Bridge constant} = \frac{\text{Output of bridge}}{\text{Output of primary gauge}}$

<p><math>K = 2</math></p>	<p>Two-arm bridge. Temperature and axial load components are compensated. Bending components are unbalanced.</p>
<p><math>K = 2</math></p>	<p>Two-arm bridge. Temperature effects and axial load components are compensated. Relatively insensitive to bending.</p>
<p><math>K = 4</math></p>	<p>Four-arm bridge. Sensitive to torsion only. Gages 1 and 4 are on opposite sides of the shaft from gages 2 and 3.</p>

เอกสารนี้เป็นเอกสารที่สงวนไว้สำหรับการใช้งานเพื่อการศึกษาเท่านั้น ไม่อนุญาตให้นำไปใช้ประโยชน์ด้านการค้า  
ไม่ว่ากรณีใดๆ ทั้งสิ้น อีกทั้งห้ามมิให้ดัดแปลงเนื้อหา และต้องอ้างอิงถึงเจ้าของเอกสารทุกครั้งที่มีการนำไปใช้

### บทที่ 3

#### การคำนวณและการออกแบบ

##### 3.1 การออกแบบขั้นพื้นฐาน

การออกแบบโพลีเซลล์นั้นได้ทำการออกแบบโพลีเซลล์ขึ้นมา 2 ขนาดด้วยกันคือ

1. โพลีเซลล์ที่รับโหลดสูงสุด 50 kg
2. โพลีเซลล์ที่รับโหลดสูงสุด 200 kg



รูปที่ 3.1 แสดง โครงสร้างภายใน

ในการออกแบบโพลีเซลล์นั้น เราจะทำการออกแบบเฉพาะช่วงแกนที่ใช้รองรับน้ำหนักเท่านั้น ส่วนขนาดอื่น ๆ นั้นเราจะกำหนดขึ้นมาเอง ซึ่งโพลีเซลล์ 2 ขนาดนี้จะมีขนาดต่างๆ เหมือนกัน แต่จะมีขนาดความกว้างและความหนาของแกนที่ใช้รองรับน้ำหนักเท่านั้นที่แตกต่างกัน ในการออกแบบขนาดความกว้างและความหนาของแกนที่จะใช้เป็นส่วนรองรับน้ำหนักนั้น จะมีการออกแบบด้วยกัน 2 ขั้นตอน ดังนี้

1. การออกแบบพื้นฐานโดยใช้ทฤษฎีการออกแบบ
2. การออกแบบโดยใช้โปรแกรม ไฟไนต์เอลิเมนต์ มาหาขนาดที่เหมาะสมที่สุด

เอกสารนี้เป็นเอกสารที่สงวนไว้สำหรับการใช้งานเพื่อการศึกษาเท่านั้น ไม่อนุญาตให้นำไปใช้ประโยชน์ด้านการค้า ไม่ว่าจะกรณีใดๆ ทั้งสิ้น อีกทั้งห้ามมิให้ดัดแปลงเนื้อหา และต้องอ้างอิงถึงเจ้าของเอกสารทุกครั้งที่มีการนำไปใช้

3.2 การออกแบบพื้นฐานโดยใช้ทฤษฎีการออกแบบ

การทำารออกแบบโหลดเซลล์ทั้ง 2 ขนาดคือ โหลดเซลล์ที่รับภาระสูงสุดได้ 50 kg และ โหลดเซลล์ที่รับภาระสูงสุดได้ 200 kg จะมีหลักการออกแบบที่เหมือนกัน ดังนั้นในปริญญาณิพนธ์เล่มนี้จึงจะขอแสดงวิธีการออกแบบของโหลดเซลล์ขนาด 200kg เท่านั้น

3.2.1 การคำนวณ

จากรูปที่ 3.2 เราจะเห็นว่า แขนรับน้ำหนักจะเป็นแบบสี่เหลี่ยมคี่ดัดกัน ดังนั้นเราจึงทำการสมมติว่าแขนรับน้ำหนักเป็น Cantilevered Beam โดยเราแบ่งมาพิจารณาเพียงแขนเดียว



รูปที่ 3.2 แสดงแขนรับน้ำหนักเป็น Cantilevered Beam

วัสดุที่ใช้มีค่าความเค้นดึงคราก ( $\sigma_y$ ) มีค่าเท่ากับ 117Mpa และมีความยาวของแขนรับน้ำหนักเท่ากับ 22 mm และขนาดของโหลดที่มากกระทำสูงสุดคือ 200 kg แต่เนื่องจากเราแยกมาพิจารณาออกมาเพียงแขนเดียว โหลดที่มากกระทำสูงสุดจึงต้องหาร 4 ดังนั้น เราจะคิดโหลดที่มากกระทำเพียง 50 kg จากทฤษฎีการออกแบบเราเลือกใช้ค่าความปลอดภัยเท่ากับ  $N_y = 3$

โมเมนต์คัตที่หน้าตัด AA ;  $M = 50kg \times 9.81 \text{ m/s}^2 \times 22mm = 10791 \text{ N/mm}^2$

โมเมนต์ความเฉื่อยของพื้นที่  $I = \frac{bh^3}{12}$  โดยเราทำการกำหนดให้  $2b=h$

ดังนั้น จะได้  $I = \frac{h^4}{24}$

ระยะแกนสะเทินไปยังคิวนอกสุด  $c = \frac{h}{2}$

เอกสารนี้เป็นเอกสารที่สงวนไว้สำหรับการใช้งานเพื่อการศึกษาเท่านั้น ไม่อนุญาตให้นำไปใช้ประโยชน์ด้านการค้าไม่ว่ากรณีใดๆ ทั้งสิ้น อีกทั้งห้ามมิให้ดัดแปลงเนื้อหา และต้องอ้างอิงถึงเจ้าของเอกสารทุกครั้งที่มีการนำไปใช้

ความเค้นดัดในคาน

$$\sigma_b = \frac{Mc}{I}$$

$$\frac{117}{3} \frac{\text{N}}{\text{mm}^2} = \frac{64,746}{h^3}$$

ดังนั้น

$$h = 12 \text{ mm}$$

จาก

$$2b = h \text{ ดังนั้น } b = 6$$

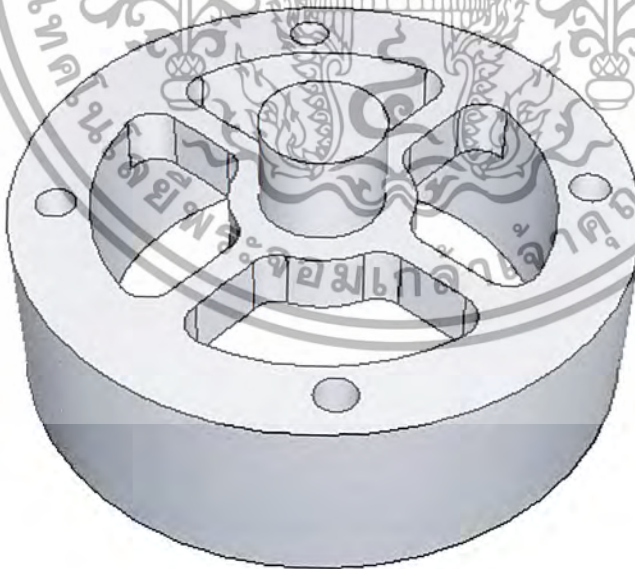
### 3.3 การวิเคราะห์ Loadcell โดยใช้โปรแกรม Abaqus

วิธีทำ

นำค่าที่ได้จากการคำนวณมาสร้างโมเดลในโปรแกรม ABAQUS โดยกำหนดใช้ค่าความหนาของคาน = 12 mm และค่าความกว้างของคาน = 6 mm. ผลที่ได้จากการ Simulation มีค่าน้อยค่าที่คำนวณไว้มากเพราะที่ตัวโหลดเซลล์มี Fillet ที่ความสูง 4 จึงทำการลดขนาดคานลงมาเป็นความหนา = 10 mm. และค่าความกว้าง = 5 mm.

Module Part

Part 1 เป็นตัวโหลดเซลล์ สร้างเป็นแบบ 3D ค่า Approximate size 0.2



รูปที่ 3.3 แสดงโหลดเซลล์ที่ออกแบบ

เอกสารนี้เป็นเอกสารที่สงวนไว้สำหรับการใช้งานเพื่อการศึกษาเท่านั้น ไม่อนุญาตให้นำไปใช้ประโยชน์ด้านการค้าไม่ว่ากรณีใดๆ ทั้งสิ้น อีกทั้งห้ามมิให้ดัดแปลงเนื้อหา และต้องอ้างอิงถึงเจ้าของเอกสารทุกครั้งที่มีการนำไปใช้

### Module Properties

#### ทำการสร้าง Material

ทำการสร้างวัสดุโดยตั้งชื่อว่า Alumminum วัสดุมีค่า E (Young's modulus) = 73.1 Gpa และ Poisson's ratio = 0.35

### Assign Section

Assign ตัว load cell ให้มีคุณสมบัติเป็น Alumminum

### Module Assembly

ประกอบ PART โดยการ Instance ตัว Loadcell และทำการ Partition ที่ผิวล่างเพื่อสร้างเป็น Set

A



รูปที่ 3.4 แสดงการประกอบ Part

### Module step

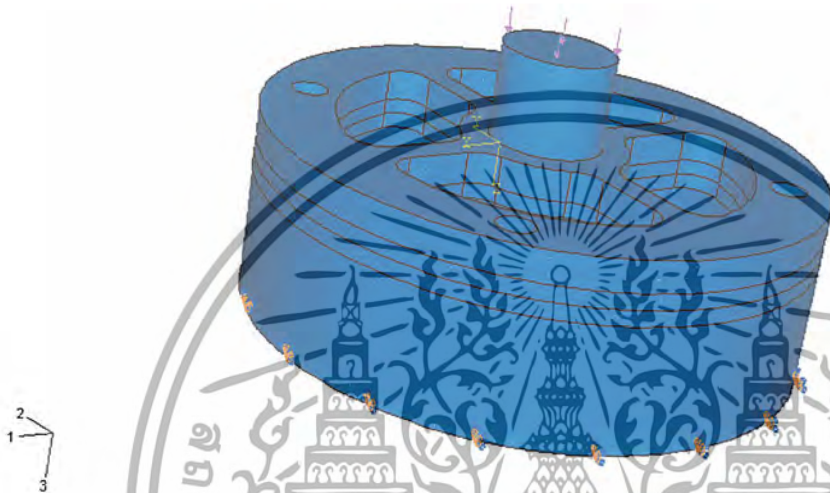
สร้าง 1 step วิเคราะห์ เป็นแบบ static และกำหนดเวลาให้เป็น 0.005 สร้าง Field Output Request editor ก่อนสร้างต้องสร้าง set A ที่ตัว Loadcell ก่อนจากนั้น ไปสร้าง Field Output โดย สร้างแต่ U (Translation and rotation)

เอกสารนี้เป็นเอกสารที่สงวนไว้สำหรับการใช้งานเพื่อการศึกษาเท่านั้น ไม่อนุญาตให้นำไปใช้ประโยชน์ด้านการค้า ไม่ว่าจะกรณีใดๆ ทั้งสิ้น อีกทั้งห้ามมิให้ดัดแปลงเนื้อหา และต้องอ้างอิงถึงเจ้าของเอกสารทุกครั้งที่มีการนำไปใช้

### Module Load

สร้าง Load โดยสร้างเป็น static general

สร้าง Boundary Condition เป็นแบบ Displacement/Rotation โดยยึดที่ฐานโดยกำหนดค่า =  $u1, u2, u3, ur1, ur2, ur3 = 0$



รูป 3.5 แสดงการกำหนดบริเวณจุดยึด

### Module Mesh

ก่อนจะทำการ Mesh ให้กับ Assembly จะต้องทำการแบ่ง Partition ก่อนเพราะสปีน Model ของตัว Loadcell นั้นเป็นสี่เหลี่ยมจะต้องทำให้เป็นสี่เหลี่ยมหรือสี่เหลี่ยมก่อน วิธีการทำคือ เข้าไปที่ Partition เลือกที่ cell แล้วเลือกที่โมเดล แล้วเลือกแบบ three point แล้วเลือกตัดที่แนวอนของตัว Loadcell โดยตัดที่ตัวที่รับแรงกดที่ๆ 2 คือในรูนี้ที่ๆ 3 คือ ใต้ตัวคานตัว Loadcell ก็จะเป็นสี่เหลี่ยมทั้งหมด

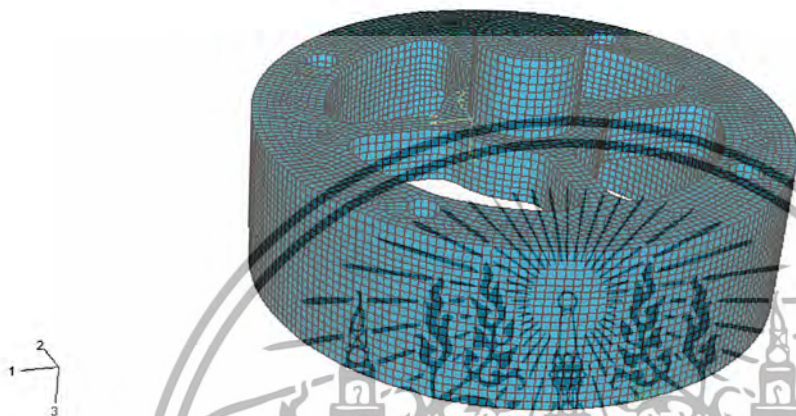
### Mesh seed

ทำการวาง seed part ให้กับตัวโหลดเซลล์ กำหนดให้เท่ากับ 0.002

เอกสารนี้เป็นเอกสารที่สงวนไว้สำหรับการใช้งานเพื่อการศึกษาเท่านั้น ไม่อนุญาตให้นำไปใช้ประโยชน์ด้านการค้า ไม่ว่าจะกรณีใดๆ ทั้งสิ้น อีกทั้งห้ามมิให้ดัดแปลงเนื้อหา และต้องอ้างอิงถึงเจ้าของเอกสารทุกครั้งที่มีการนำไปใช้

## Mesh Assembly

กดเลือกแล้ว Drag เม้าท์ให้ครอบคลุมทั้งตัว Loadcell และก้อน Mass ก็จะได้ผลลัพธ์ดังรูปข้างล่าง



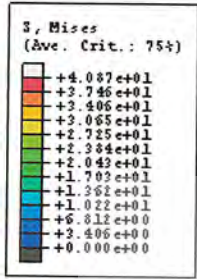
รูปที่ 3.6 แสดงการตี Mesh

NUMBER OF ELEMENTS IS	19890
NUMBER OF NODES IS	24912
NUMBER OF NODES DEFINED BY THE USER	24912
TOTAL NUMBER OF VARIABLES IN THE MODEL	74739
(DEGREES OF FREEDOM PLUS ANY LAGRANGE MULTIPLIER VARIABLES)	

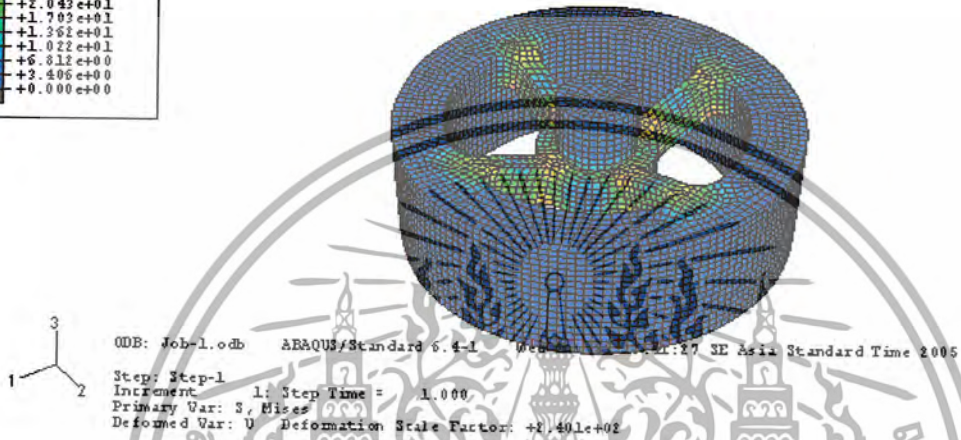
เอกสารนี้เป็นเอกสารที่สงวนไว้สำหรับการใช้งานเพื่อการศึกษาเท่านั้น ไม่อนุญาตให้นำไปใช้ประโยชน์ด้านการค้าไม่ว่ากรณีใดๆ ทั้งสิ้น อีกทั้งห้ามมิให้ดัดแปลงเนื้อหา และต้องอ้างอิงถึงเจ้าของเอกสารทุกครั้งที่มีการนำไปใช้

### 3.4 ผลจากการวิเคราะห์

ค่าความเค้นสูงสุดของโหลดเซลล์ขนาด 50 kg

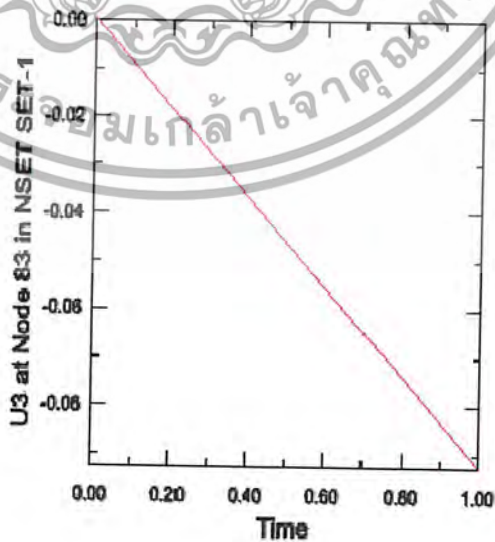
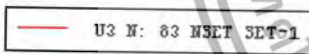


Step: Step-1 Frame: 1



รูปที่ 3.7 แสดงความเค้นที่เกิดขึ้นในคาน โหลดเซลล์ขนาด 50 kg

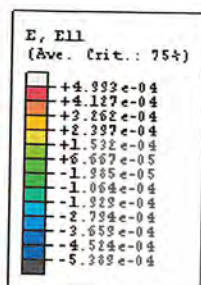
กราฟแสดงระยะขยับตัวของคาน



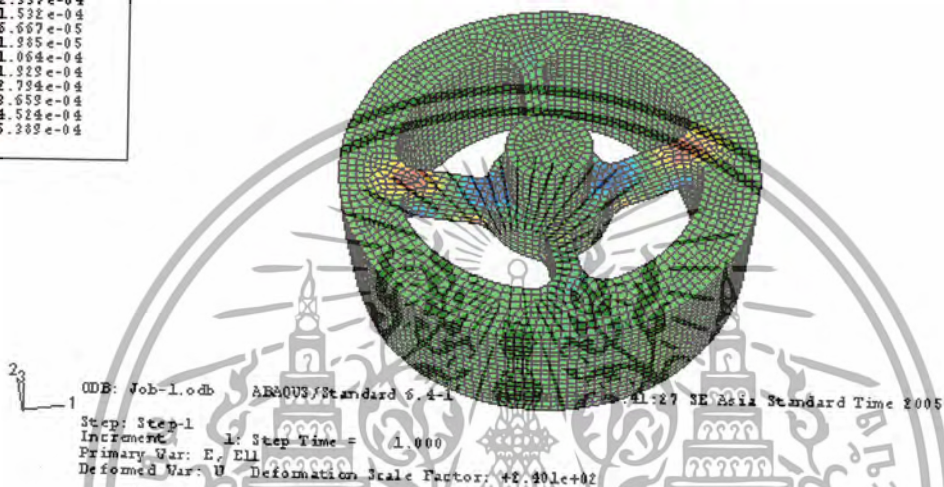
รูปที่ 3.8 แสดงระยะการขยับตัวของคาน โหลดเซลล์ขนาด 50 kg

เอกสารนี้เป็นเอกสารที่สงวนไว้สำหรับการใช้งานเพื่อการศึกษาเท่านั้น ไม่อนุญาตให้นำไปใช้ประโยชน์ด้านการค้า ไม่ว่าจะกรณีใดๆ ทั้งสิ้น อีกทั้งห้ามมิให้ดัดแปลงเนื้อหา และต้องอ้างอิงถึงเจ้าของเอกสารทุกครั้งที่มีการนำไปใช้

รูปแสดงค่าความเครียดตามแนวแกน

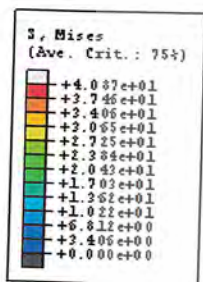


Step: Step-1 Frame: 1

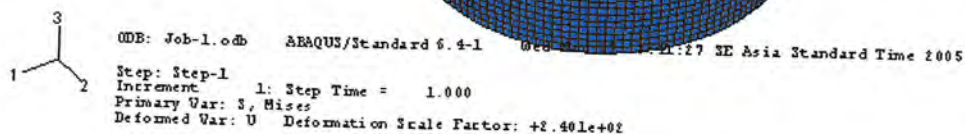


รูปที่ 3.9 แสดงความเครียดที่เกิดตามแนวแกนโพลีเอสเตอร์ขนาด 50 kg

ค่าความเค้นสูงสุดของโพลีเอสเตอร์ 200 kg



Step: Step-1 Frame: 1

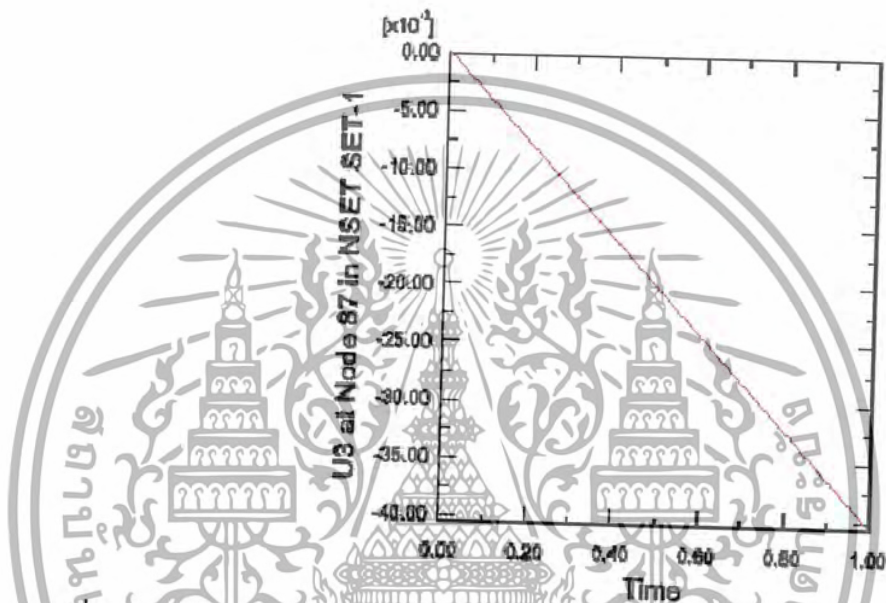


รูปที่ 3.10 แสดงความเค้นที่เกิดในคานโพลีเอสเตอร์ขนาด 200 kg

เอกสารนี้เป็นเอกสารที่สงวนไว้สำหรับการใช้งานเพื่อการศึกษาเท่านั้น ไม่อนุญาตให้นำไปใช้ประโยชน์ด้านการค้า  
 ไม่ว่าจะกรณีใดๆ ทั้งสิ้น อีกทั้งห้ามมิให้ดัดแปลงเนื้อหา และต้องอ้างอิงถึงเจ้าของเอกสารทุกครั้งที่มีการนำไปใช้

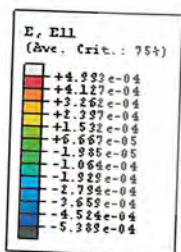
กราฟแสดงระยะยุบตัวของคาน

U3 N: 87 NSET SET-1

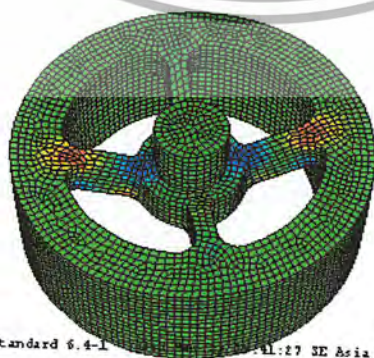


รูปที่ 3.11 แสดงระยะการยุบตัวของคาน โหลดเซลล์ขนาด 200 kg

กราฟแสดงค่าความเครียดตามแนวแกน



Step: Step-1 Frame: 1



ODB: Job-1.odb ABAQUS/Standard 6.4-1 11:27 SE Asia Standard Time 2005  
 Step: Step-1  
 Increment: 1: Step Time = 1.000  
 Primary Var: E, E11  
 Deformed Var: U Deformation Scale Factor: +2.401e+02

รูปที่ 3.12 แสดงความเครียดที่เกิดตามแนวแกน โหลดเซลล์ขนาด 200 kg

เอกสารนี้เป็นเอกสารที่สงวนไว้สำหรับการใช้งานเพื่อการศึกษาเท่านั้น ไม่อนุญาตให้นำไปใช้ประโยชน์ด้านการค้า  
 ไม่ว่าจะกรณีใดๆ ทั้งสิ้น อีกทั้งห้ามมิให้ดัดแปลงเนื้อหา และต้องอ้างอิงถึงเจ้าของเอกสารทุกครั้งที่มีการนำไปใช้

## บทที่ 4

### หลักการงานและการประยุกต์ใช้งาน

#### 4.1 หลักการทำงาน

หลักการทำงานคือเมื่อมีโพลดมากระทำที่เคือยที่ตัวโพลดเซลล์ ก็จะส่งผลให้แขนรับโพลดที่อยู่ข้างในเกิดการเปลี่ยนแปลงความเครียด ทำให้สเตรนเกจที่ติดอยู่ด้านในได้รับความเครียด ทำให้ค่าความต้านทานของสเตรนเกจเกิดการเปลี่ยนแปลง



รูปที่ 4.2 แสดงรูปโพลดเซลล์

#### 4.2 การใช้งาน

โพลดเซลล์นี้สามารถนำไปประยุกต์ใช้งานในงานต่างได้เช่น การทำเครื่องชั่งน้ำหนัก การใช้งานกับเครื่องถ่ายภาพบำบัด เป็นต้น โดยการใช้งานคือทำการติดตั้งโพลดเซลล์เข้ากับอุปกรณ์ต่างๆ โดยให้ทำการยึดเคือยให้ติดกับอุปกรณ์นั้นๆ โพลดเซลล์นี้สามารถรับแรงกดได้เพียงอย่างเดียว

เอกสารนี้เป็นเอกสารที่สงวนไว้สำหรับการใช้งานเพื่อการศึกษาเท่านั้น ไม่อนุญาตให้นำไปใช้ประโยชน์ด้านการค้าไม่ว่ากรณีใดๆ ทั้งสิ้น อีกทั้งห้ามมิให้ดัดแปลงเนื้อหา และต้องอ้างอิงถึงเจ้าของเอกสารทุกครั้งที่มีการนำไปใช้

#### 4.2 การใช้งาน

โพลีคาร์บอเนตสามารถนำไปประยุกต์ใช้งานในงานต่างได้เช่น การทำเครื่องชั่งน้ำหนัก การใช้งานกับเครื่องถ่ายภาพบัพัด เป็นต้น โดยการใช้งานคือทำการติดตั้งโพลีคาร์บอเนตเข้ากับอุปกรณ์ต่างๆโดยให้ทำการยึดติดให้ติดกับอุปกรณ์นั้นๆ โพลีคาร์บอเนตสามารถรับแรงกดได้เพียงอย่างเดียว

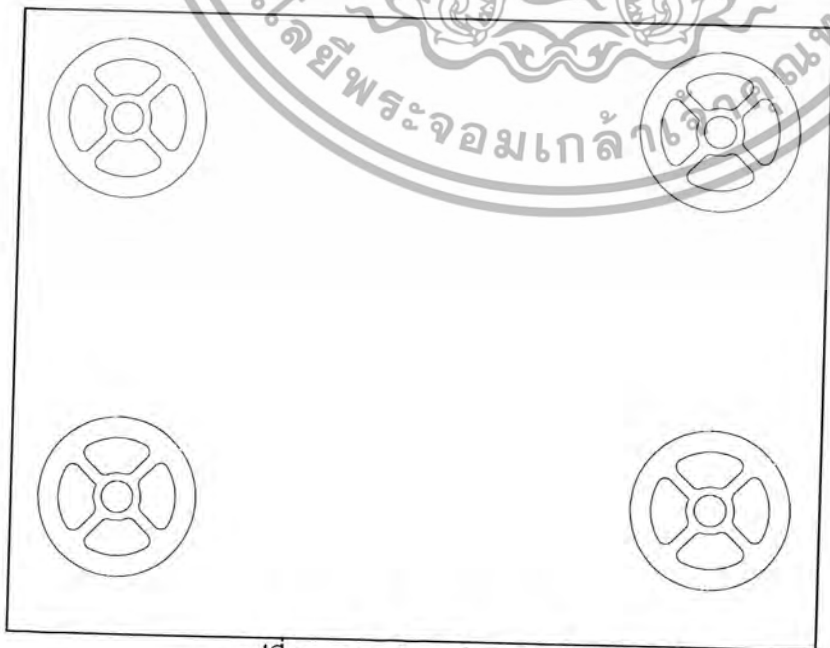
#### 4.3 การประยุกต์นำโพลีคาร์บอเนตไปใช้งาน

ปัจจุบันนิยมใช้โพลีคาร์บอเนตเป็นอุปกรณ์ในการวัดแรงมีใช้กันอย่างแพร่หลายทั้งในโรงงานอุตสาหกรรมและในสถาบันการศึกษา เช่น ใช้ในเครื่องชั่งน้ำหนักรถบรรทุก และใช้ในเครื่อง Tensile Test แต่โพลีคาร์บอเนตที่ใช้นั้นมีราคาค่อนข้างสูง จึงได้นำโพลีคาร์บอเนตที่ผลิตขึ้นมาประยุกต์ทำเป็นเครื่องชั่งน้ำหนัก Digital โดยใช้โพลีคาร์บอเนตขนาด 50 กิโลกรัม 4 ตัว มาใช้งานเครื่องชั่งน้ำหนักนี้สามารถรับภาระสูงสุดได้ 200 กิโลกรัม โดยจะใช้ Micro Controller ในการประมวลผลและแสดงผลผ่านทางหน้าจอ LCD

#### อุปกรณ์

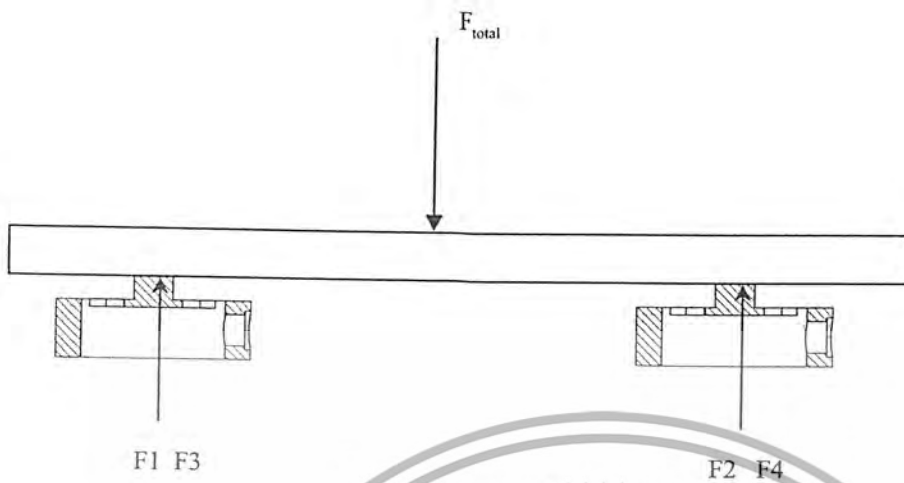
1. โพลีคาร์บอเนตขนาด 50 กิโลกรัม 4 ตัว
2. Amplifier 4 วงจร
3. Micro Controller Pic 16F877 1 ชุด
4. หน้าจอ LCD

แนวคิดที่ใช้ในการออกแบบ



รูปที่ 4.3 แสดงตำแหน่งการวางโพลีคาร์บอเนต

เอกสารนี้เป็นเอกสารที่สงวนไว้สำหรับการใช้งานเพื่อการศึกษาเท่านั้น ไม่อนุญาตให้นำไปใช้ประโยชน์ด้านการค้าไม่ว่ากรณีใดๆ ทั้งสิ้น อีกทั้งห้ามมิให้ดัดแปลงเนื้อหา และต้องอ้างอิงถึงเจ้าของเอกสารทุกครั้งที่มีการนำไปใช้



รูปที่ 4.4 แรงปฏิกิริยาที่เกิดที่โหนดเชสต์ 4 ตัว

เขียนสมการได้ดังนี้

$$\sum F = 0$$

$$F_{total} = F_1 + F_2 + F_3 + F_4$$

นำหลักการนี้มาใช้ในการเขียนโปรแกรมเพื่อประมวลผลต่อไป



รูปที่ 4.5 แสดงขั้นตอนการทำงานของโปรแกรม

เอกสารนี้เป็นเอกสารที่สงวนไว้สำหรับการใช้งานเพื่อการศึกษาเท่านั้น ไม่อนุญาตให้นำไปใช้ประโยชน์ด้านการค้า  
ไม่ว่ากรณีใดๆ ทั้งสิ้น อีกทั้งห้ามมิให้ดัดแปลงเนื้อหา และต้องอ้างอิงถึงเจ้าของเอกสารทุกครั้งที่มีการนำไปใช้

### หลักการทํางาน

เมื่อมีภาระที่แทนเหยียบเกิดขึ้น โหลดเซลล์ทั้ง 4 จะยุบตัวลงจะทำให้เกิดแรงดัน Output ค่าแรงดัน Output นี้จะถูกส่งไปยัง Amplifier เพื่อขยายสัญญาณค่าแรงดัน Output ที่ถูกขยายสัญญาณแล้วนี้จะถูกส่งเข้าไปยัง Micro Controller เพื่อประมวลผลโดยผ่านทาง Port  $RA_0$  ,  $RA_1$  ,  $RA_2$  ,  $RA_3$  โดยที่ Port นี้จะทำการแปลงสัญญาณอนาลอกเป็น Digital เรียบร้อยแล้ว ค่าที่รับเข้ามานี้จะถูกคำนวณโดยใช้สมการเชิงเส้นของโหลดเซลล์แต่ละตัว เพื่อแปลงค่าเป็นน้ำหนัก และนำค่าที่ได้ของโหลดเซลล์แต่ละตัวมาบวกกัน และส่งค่าไปแสดงผลผ่านทางหน้าจอ LCD

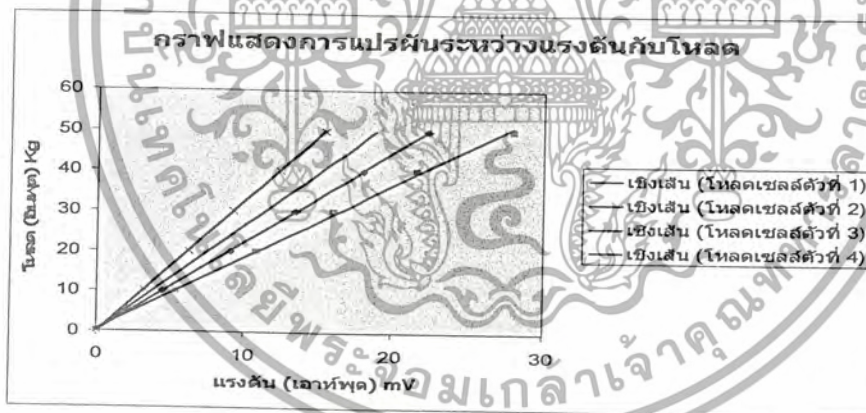


เอกสารนี้เป็นเอกสารที่สงวนไว้สำหรับการใช้งานเพื่อการศึกษาเท่านั้น ไม่อนุญาตให้นำไปใช้ประโยชน์ด้านการค้าไม่ว่ากรณีใดๆ ทั้งสิ้น อีกทั้งห้ามมิให้ดัดแปลงเนื้อหา และต้องอ้างอิงถึงเจ้าของเอกสารทุกครั้งที่มีการนำไปใช้

บทที่ 5  
สรุปและวิจารณ์ผลการทดลอง



รูปที่ 5.1 กราฟแสดงการเปรียบเทียบขณะเพิ่มและลด โหลดของ โหลดเซลล์ 200 kg



รูปที่ 5.2 กราฟแสดงการเปรียบเทียบขณะเพิ่มและลด โหลดของ โหลดเซลล์ 50 kg ทั้ง 4 ตัว

เอกสารนี้เป็นเอกสารที่สงวนไว้สำหรับการใช้งานเพื่อการศึกษาเท่านั้น ไม่อนุญาตให้นำไปใช้ประโยชน์ด้านการค้า  
ไม่ว่ากรณีใดๆ ทั้งสิ้น อีกทั้งห้ามมิให้ดัดแปลงเนื้อหา และต้องอ้างอิงถึงเจ้าของเอกสารทุกครั้งที่มีการนำไปใช้

Load Cell	input (5v)	Hysteresis %	Sentivity	%relative error สูงสุด
1	5	1.6393	0.1203	4.596
2	5	4.0000	0.1003	4.070
3	5	2.1505	0.1831	4.902
4	5	1.3513	0.1486	0.649
200 kg	5	3.2258	0.0312	3.900

รูปที่ 5.3 แสดงตารางแสดงคุณสมบัติของโหลดเซลล์แต่ละตัว

### 5.1 สรุป

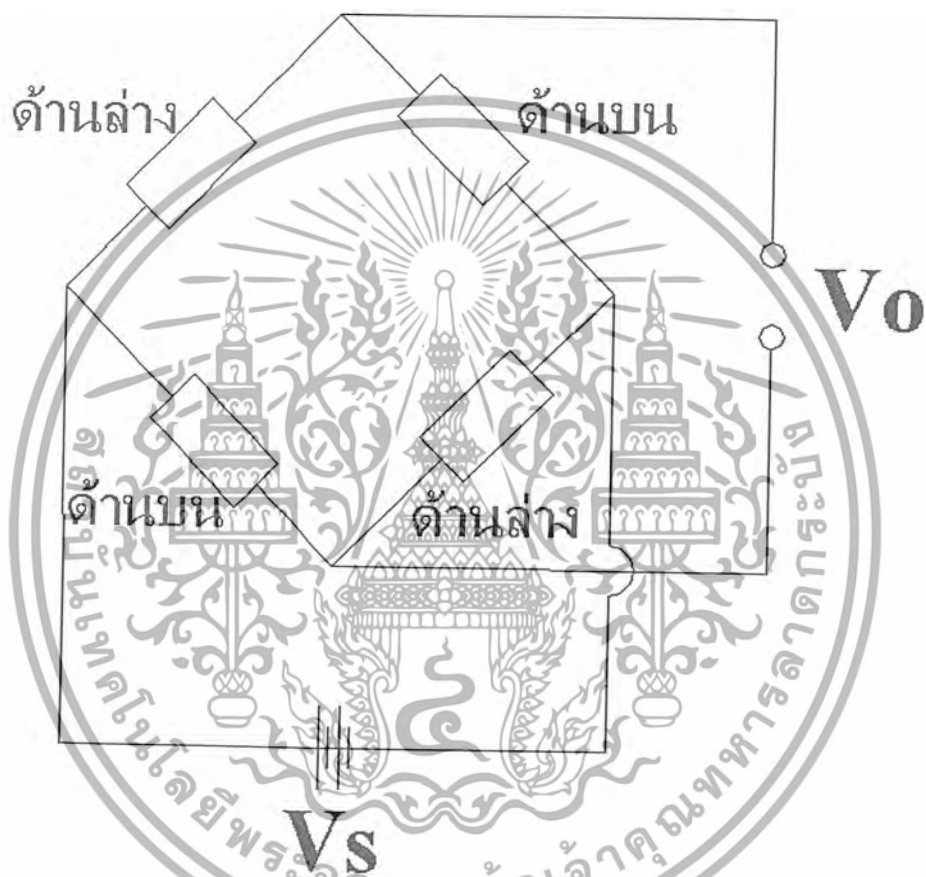
จากกราฟที่ได้มาเราสามารถกล่าวได้ดังนี้คือกราฟที่ได้มาก่อนข้างเป็นเชิงเส้น แต่ค่าความชันที่ได้มีค่าไม่เท่ากันสาเหตุอันเนื่องมาจากการ Machine เพราะว่าหลักจากที่ได้การ Machine ไม่สามารถที่จะนำวัสดุไปอบคลายความเค้นได้เพราะว่าไม่ทราบค่าส่วนผสมในเนื้อวัสดุ ทำให้โหลดเซลล์แต่ละตัวมีความเค้นตกค้างไม่เท่ากัน แต่สามารถแก้ไขได้ด้วยวิธีการเค้น เพราะว่าการพองของโหลดเซลล์แต่ละตัวนั้นเป็นเชิงเส้น ทำให้สามารถนำโหลดเซลล์นี้ไปประยุกต์ใช้ในงานต่างๆได้จริง

### 5.2 วิจารณ์ผลการทดลอง

เนื่องจากวัสดุที่นำมาใช้ทำโหลดเซลล์ชิ้นมานั้นเป็นวัสดุที่มีคุณภาพต่ำ คือไม่มีส่วนผสมของวัสดุที่แน่นอนทำให้หลังจากการ Machine ไม่สามารถที่จะไปอบคลายความเค้นได้ ทำให้เกิดความเค้นตกค้างในโหลดเซลล์แต่ละตัว เป็นเหตุให้สมการของโหลดเซลล์แต่ละตัวไม่เหมือนกัน

เอกสารนี้เป็นเอกสารที่สงวนไว้สำหรับการใช้งานเพื่อการศึกษาเท่านั้น ไม่อนุญาตให้นำไปใช้ประโยชน์ด้านการค้าไม่ว่ากรณีใดๆ ทั้งสิ้น อีกทั้งห้ามมิให้ดัดแปลงเนื้อหา และต้องอ้างอิงถึงเจ้าของเอกสารทุกครั้งที่มีการนำไปใช้

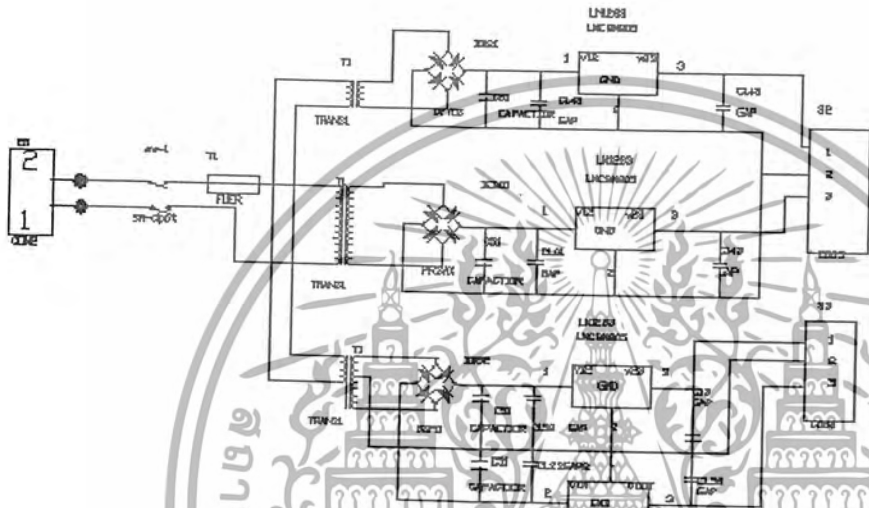
ภาคผนวก ก.  
วงจรวีตสโตนบริดจ์



รูป ก. แสดงวงจรวีตสโตนบริดจ์และการติดตั้งสเตรนเกจไว้ที่คาน

เอกสารนี้เป็นเอกสารที่สงวนไว้สำหรับการใช้งานเพื่อการศึกษาเท่านั้น ไม่อนุญาตให้นำไปใช้ประโยชน์ด้านการค้า  
ไม่ว่ากรณีใดๆ ทั้งสิ้น อีกทั้งห้ามมิให้ดัดแปลงเนื้อหา และต้องอ้างอิงถึงเจ้าของเอกสารทุกครั้งที่มีการนำไปใช้

ภาคผนวก ข.  
วงจรแหล่งจ่าย



เอกสารนี้เป็นเอกสารที่สงวนไว้สำหรับการใช้งานเพื่อการศึกษาเท่านั้น ไม่อนุญาตให้นำไปใช้ประโยชน์ด้านการค้า  
ไม่ว่ากรณีใดๆ ทั้งสิ้น อีกทั้งห้ามมิให้ดัดแปลงเนื้อหา และต้องอ้างอิงถึงเจ้าของเอกสารทุกครั้งที่มีการนำไปใช้

ภาคผนวก ก.  
รายละเอียดโปรแกรมเครื่องกัด CNC

โปรแกรมกัดโหลดเซลล์ขนาด 200 kg

O0098 ;

N1 ;

G17 G21 G40 G49 G80 G90 ;

G92 X0 Y0 Z0 ;

G00 Z-100. S1000 M03 ;

G01 G43 Z-150. M08 F800 ;

G01 X0 Y0 Z-280. ;

G01 X0 Y50. Z-280. ;

G01 Z-295. ;

G03 X0 Y-50. R50. ;

G03 X0 Y50. R50. ;

G03 X0 Y40. R40. ;

G03 X0 Y-40. R40. ;

G03 X0 Y30. R30. ;

G03 X0 Y-30. R30. ;

G03 X0 Y20. R20. ;

G03 X0 Y-20. R20. ;

G03 X0 Y15. R15. ;

G03 X0 Y-15. R15. ;

G01 Z-280. ;

G01 X15.81 Y7.5 ;

G01 Z-310. ;

G01 X31.11 Y7.5 ;

G03 X7.5 Y31.11 R32. ;

G01 X7.5 Y15.81 ;

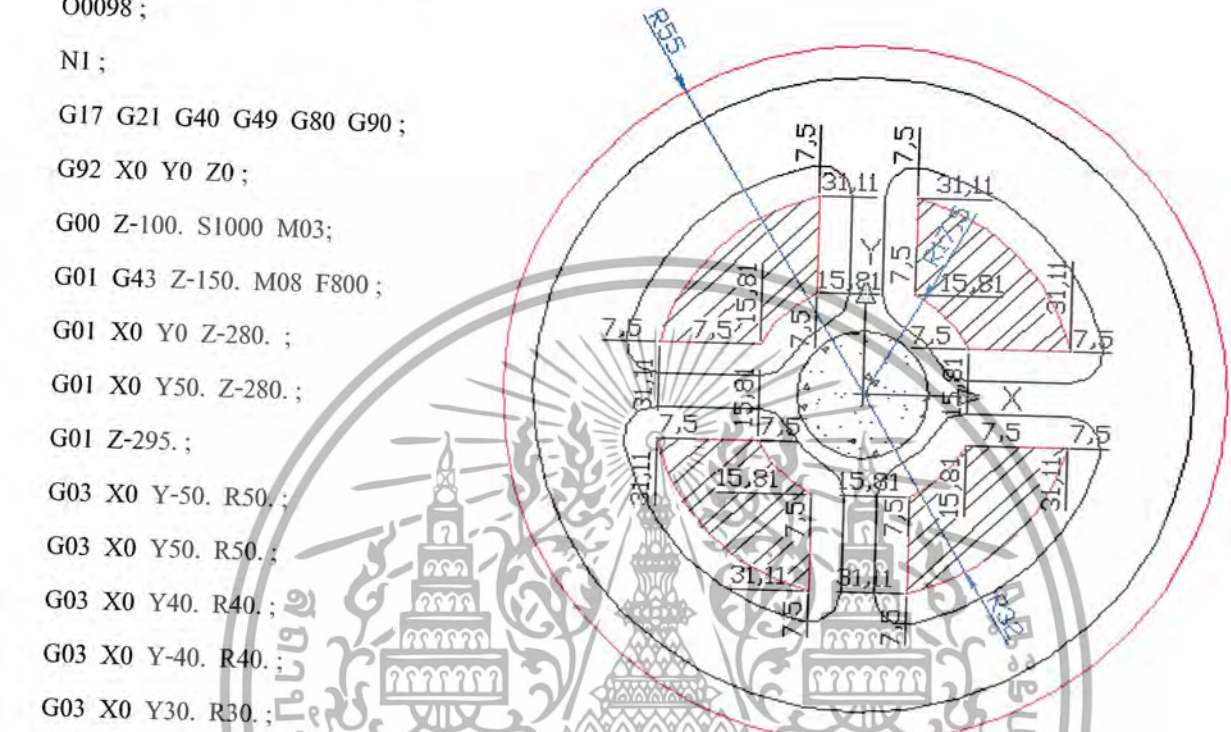
G02 X15.81 Y7.5 R17.5 ;

G01 Z-280 ;

G01 X-15.81 Y7.5 ;

G01 Z-310 ;

G02 X-7.5 Y15.81 R17.5 ;



**Loadcell 200 Kg**

เอกสารนี้เป็นเอกสารที่สงวนไว้สำหรับการใช้งานเพื่อการศึกษาเท่านั้น ไม่อนุญาตให้นำไปใช้ประโยชน์ด้านการค้า  
ไม่ว่ากรณีใดๆ ทั้งสิ้น อีกทั้งห้ามมิให้ดัดแปลงเนื้อหา และต้องอ้างอิงถึงเจ้าของเอกสารทุกครั้งที่มีการนำไปใช้

G02 X-7.5 Y15.81 R17.5 ;  
 G01 X-7.5 Y31.11 ;  
 G03 X-31.11 Y7.5 R32. ;  
 G01 X-15.81 Y7.5 ;  
 G01 Z-280 ;  
 G01 X-15.81 Y-7.5 ;  
 G01 Z-310 ;  
 G01 X-31.11 Y-7.5 ;  
 G03 X-7.5 Y-31.11 R32. ;  
 G01 X-7.5 Y-15.81 ;  
 G02 X-15.81 Y-7.5 R17.5 ;  
 G01 Z-280 ;  
 G01 X7.5 Y-15.81 ;  
 G01 Z-310 ;  
 G03 X15.81 Y-7.5 R17.5 ;  
 G01 X31.11 Y-7.5 ;  
 G02 X7.5 Y-31.11 R32. ;  
 G01 X7.5 Y-15.81 ;  
 G01 Z-280 ;  
 G01 X0 Y55. ;  
 G01 Z-310 ;  
 G01 X0 Y-55. R55. ;  
 G01 X0 Y55. R55. ;  
 G01 Z-280  
 G28 G49 G40 Z-250 ;  
 M05 M02 ;



เอกสารนี้เป็นเอกสารที่สงวนไว้สำหรับการใช้งานเพื่อการศึกษาเท่านั้น ไม่อนุญาตให้นำไปใช้ประโยชน์ด้านการค้า  
 ไม่ว่ากรณีใดๆ ทั้งสิ้น อีกทั้งห้ามมิให้ดัดแปลงเนื้อหา และต้องอ้างอิงถึงเจ้าของเอกสารทุกครั้งที่มีการนำไปใช้

## โปรแกรมกัดโหลดเซลล์ขนาด 50 kg

O0099 ;

N1 ;

G17 G21 G40 G49 G80 G90 ;

G92 X0 Y0 Z0 ;

G00 Z-100. S1000 M03;

G01 G43 Z-150. M08 F800 ;

G01 X0 Y0 Z-280.

G01 X0 Y50. Z-280. ;

G01 Z-295. ;

G03 X0 Y-50. R50. ;

G03 X0 Y50. R50. ;

G03 X0 Y40. R40. ;

G03 X0 Y-40. R40. ;

G03 X0 Y30. R30. ;

G03 X0 Y-30. R30. ;

G03 X0 Y20. R20. ;

G03 X0 Y-20. R20. ;

G03 X0 Y15. R15. ;

G03 X0 Y-15. R15. ;

G01 Z-280. ;

G01 X18.1 Y8.5 ;

G01 Z-310. ;

G01 X30.85 Y8.5 ;

G03 X8.5 Y30.85 R32. ;

G01 X8.5 Y18.1 ;

G02 X18.1 Y8.5 R20. ;

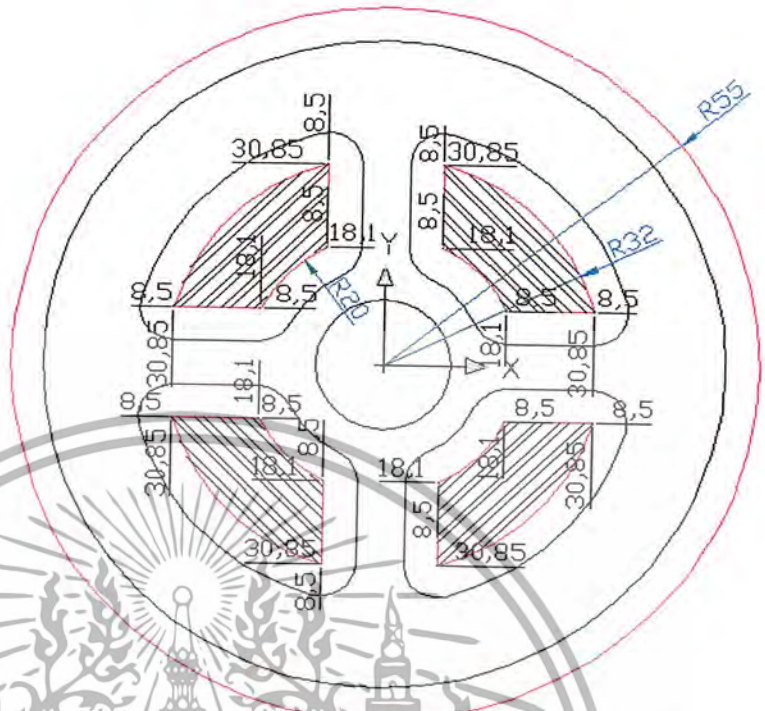
G01 Z-280 ;

G01 X-18.1 Y8.5 ;

G01 Z-310 ;

G02 X-8.5 Y18.1 R20. ;

G01 X-8.5 Y30.85 ;



# Loadcell 50 kg

เอกสารนี้เป็นเอกสารที่สงวนไว้สำหรับการใช้งานเพื่อการศึกษาเท่านั้น ไม่อนุญาตให้นำไปใช้ประโยชน์ด้านการค้า

ไม่ว่ากรณีใดๆ ทั้งสิ้น อีกทั้งห้ามมิให้ดัดแปลงเนื้อหา และต้องอ้างอิงถึงเจ้าของเอกสารทุกครั้งที่มีการนำไปใช้

G01 X-8.5 Y30.85 ;  
 G03 X-30.85 Y8.5 R32. ;  
 G01 X-18.1 Y8.5 ;  
 G01 Z-280 ;  
 G01 X-18.1 Y-8.5 ;  
 G01 Z-310 ;  
 G01 X-30.85 Y-8.5 ;  
 G03 X-8.5 Y-30.85 R32. ;  
 G01 X-18.1 Y-8.5 ;  
 G02 X-18.1 Y-8.5 R20. ;  
 G01 Z-280 ;  
 G01 X8.5 Y-18.1 ;  
 G01 Z-310 ;  
 G03 X18.1 Y-8.5 R20. ;  
 G01 X30.85 Y-8.5 ;  
 G02 X8.5 Y-30.85 R32. ;  
 G01 X8.5 Y-18.1 ;  
 G01 Z-280 ;  
 G01 X0 Y55. ;  
 G01 Z-310 ;  
 G01 X0 Y-55. R55. ;  
 G01 X0 Y55. R55. ;  
 G01 Z-280 ;  
 G28 G49 G40 Z-250 ;  
 M05 M02 ;



เอกสารนี้เป็นเอกสารที่สงวนไว้สำหรับการใช้งานเพื่อการศึกษาเท่านั้น ไม่อนุญาตให้นำไปใช้ประโยชน์ด้านการค้า  
 ไม่ว่ากรณีใดๆ ทั้งสิ้น อีกทั้งห้ามมิให้ดัดแปลงเนื้อหา และต้องอ้างอิงถึงเจ้าของเอกสารทุกครั้งที่มีการนำไปใช้

ภาคผนวก ง.  
รายละเอียดโปรแกรมเครื่องชั่ง

โปรแกรมที่ใช้กับเครื่องชั่งน้ำหนัก

```
#include <16F877A.h> //Standard Header file for the pic16F877 device
#define TxD    PIN_C6    //define Transmitted Data
#define CLOCK_SP 2000000 //Clock Speed(Hz)
// Device Specification
#fuses HS           //Oscillator mode HS
#fuses NOLVP, NOWDT //No low voltage Program,nowatchdog timer
#fuses NOPROTECT   // Code no protecion
#device ADC=10     // 10 Bit (111111111=1,023)

#use delay (clock=Clock_sp) // use buit-in function: delay_ms()& delay_us()
#use rs232(baud=9600,xmit=TxD) // Use serial I/O port (RS232)
#use Fast_io(A) //programming of the direction register.

/*****
* Constants
*****/
#define Vbe 0.004887585532746823069403714560049 // Vref/1023 (5/1023)

/*****
* Function: main
* Description: This is the main entry for the program.
* Parameters: nothing
* Returned: nothing
*****/
void main (void) {
```

เอกสารนี้เป็นเอกสารที่สงวนไว้สำหรับการใช้งานเพื่อการศึกษาเท่านั้น ไม่อนุญาตให้นำไปใช้ประโยชน์ด้านการค้า  
ไม่ว่ากรณีใดๆ ทั้งสิ้น อีกทั้งห้ามมิให้ดัดแปลงเนื้อหา และต้องอ้างอิงถึงเจ้าของเอกสารทุกครั้งที่มีการนำไปใช้

```

int16 value[i],i;
float volt[i],w,w1,w2,w3,wt,x[i],y[i];
setup_port_a(ALL_ANALOG); // A0 A1 A2 A3 A5 E0 E1 E2 Ref=Vdd
setup_adc(ADC_CLOCK_INTERNAL); // Clock Rc
for(i=0;i<4;i++){
set_adc_channel(i); // Read Analog input RA0(channel=0,1,2,3)
delay_ms(20);
value[i] = Read_ADC();
volt[i] = Vbe* (float) value[i];
x[i] = volt[i];
}
do{
for(i=0;i<4;i++){
set_adc_channel(i); // Read Analog input RA0(channel=0,1,2,3)
delay_ms(20);
value[i] = Read_ADC();
volt[i] = Vbe* (float) value[i];
y[i]= volt[i] - x[i];
}
w1 = 175*y[0]-96;
w2 = 155*y[1]-86;
w3 = 125 * y[2]-47;
w4 = 178*y[3]-58 ;
wt = w1+w2+w3+w4;
printf("W = %3.1f kg ",wt);
delay_ms(500);
}while (True);
}

```

เอกสารนี้เป็นเอกสารที่สงวนไว้สำหรับการใช้งานเพื่อการศึกษาเท่านั้น ไม่อนุญาตให้นำไปใช้ประโยชน์ด้านการค้า  
ไม่ว่ากรณีใดๆ ทั้งสิ้น อีกทั้งห้ามมิให้ดัดแปลงเนื้อหา และต้องอ้างอิงถึงเจ้าของเอกสารทุกครั้งที่มีการนำไปใช้

### บรรณานุกรม

- [1] สมนึก บุญพาไสว,การวัดและเครื่องมือวัด.สำนักพิมพ์ท้อป จำกัด.
- [2] ประจัน พลังสันติสุข,การเรียนรู้และใช้งานไมโครคอนโทรลเลอร์.  
สำนักพิมพ์อินโนเวตีฟ เอ็ดเพอริเม้นต์จำกัด.
- [3] รองศาสตราจารย์ มัณฑนา ปราการสมุทร,การเขียนชุดคำสั่งภาษาซี,สำนักพิมพ์ไฮเทคพรีนติ้ง.
- [4] ศ.ดร.วิริทธิ์ อึ้งภากรณ์,การออกแบบเครื่องจักรกล,สำนักพิมพ์ซีเอ็ดยูเคชั่นจำกัด.
- [5] Joseph E. Shigley,Mechanical Engineering Design,Mc Graw Hill.
- [6] R.C HIBBELLER,Mechanic of Materials,Pearson.



เอกสารนี้เป็นเอกสารที่สงวนไว้สำหรับการใช้งานเพื่อการศึกษาเท่านั้น ไม่อนุญาตให้นำไปใช้ประโยชน์ด้านการค้า  
ไม่ว่ากรณีใดๆ ทั้งสิ้น อีกทั้งห้ามมิให้ดัดแปลงเนื้อหา และต้องอ้างอิงถึงเจ้าของเอกสารทุกครั้งที่มีการนำไปใช้